

GM 63079

TRAVAUX DE PROSPECTION, PROPRIETE LA GRANDE EST

Documents complémentaires

Additional Files



Licence



Licence

Cette première page a été ajoutée
au document et ne fait pas partie du
rapport tel que soumis par les auteurs.

Énergie et Ressources
naturelles

Québec 

MATAMEC EXPLORATIONS INC.

**TRAVAUX DE PROSPECTION
5 AU 28 JUIN ET 23 SEPTEMBRE AU 6 OCTOBRE 2006**

PROPRIÉTÉ LA GRANDE EST

Ressources naturelles et Faune, Québec
09 AOÛT 2007
Service de la Géoinformation

MRNFP - SECTEUR DES MINES
REÇU LE
13 JUIN 2007
Bureau régional - Montréal

Gestion Aline Leclerc Inc.

15 janvier 2007

REÇU AU MRNFP
13 JUIN 2007
BUREAU RÉGIONAL - MONTRÉAL

GM 63079

- 682166

RESUME

Des travaux de prospection pour l'or se sont déroulés sur la propriété La Grande Est située à la Baie-James, au Québec, en deux phases soit du 5 au 28 juin et du 23 septembre au 6 octobre 2006. Lors de la première phase des travaux, il y a eu un rééchantillonnage des sédiments de ruisseaux dans les zones où des anomalies en Au et en As avaient été obtenues lors d'un échantillonnage précédent effectué par le MRNQ, ainsi que l'échantillonnage des ruisseaux de la partie est de la propriété. Lors de la seconde phase des travaux, il y a eu prospection dans les secteurs où des anomalies géochimiques ont été identifiées suite à l'échantillonnage des ruisseaux et de la roche de cet été.

Les travaux de prospection à l'été 2006 ont permis d'identifier sept zones d'intérêts dont quatre constituent de nouvelles découvertes. Les meilleures teneurs en Au (1 468 et 893 ppb) ont été obtenues dans un siltstone recoupé par une veine de quartz-tourmaline-carbonate-pyrite-chalcopryrite. Une teneur intéressante en Au (639 ppb) ainsi que des teneurs anormales en Au (22 à 193 ppb) ont également été obtenues dans le siltstone localisé au sud de l'unité volcano-sédimentaire située dans la partie nord de la propriété.

Les travaux ont également permis d'identifier, au sud de la propriété, la continuité vers l'est d'une unité volcano-sédimentaire comprenant un basalte ou une andésite, ainsi qu'une formation de fer où quelques valeurs anormales en Au (22 à 105 ppb) ont été identifiées dans les volcanites mafiques et le siltstone.

Les travaux de l'automne 2006 ont pour leur part permis de vérifier des secteurs anormales suite aux analyses des échantillons de sédiments de ruisseau et de roche. Ainsi, dans Certains secteurs montrant des anomalies magnétiques ont également été visités. Ainsi, au sud du lac Bonfait, une intrusion monzodioritique, dioritique à gabbroïque correspond à une anomalie magnétique positive. À l'est de cette intrusion, dans la continuité de l'unité volcano-sédimentaire, des teneurs en Au de 1 825 ppb, 1 737 ppb et 695 ppb sont trouvées dans un siltstone recoupé par des veines de quartz-albite.

Nous recommandons le jalonnement de 21 cellules situées au sud de la propriété et englobant l'unité volcano-sédimentaire situé à l'est de l'intrusion monzodioritique à gabbroïque et au sud-est de l'intrusion du lac Bonfait. Nous recommandons également deux décapages, soit dans le secteur au sud de l'unité volcano-sédimentaire situé dans le nord de la propriété où des teneurs en Au de 2 692 ppb, de 1 146 ppb et de 639 ppb dans un siltstone et une formation de fer, et dans le secteur au sud de la propriété dans les nouveaux claims à acquérir où un siltstone injecté de veine de quartz et albite où des teneurs en Au de 1737 ppb et de 695 ppb ont été obtenues respectivement dans l'éponte et dans les veines de quartz et albite.

TABLE DES MATIERES

1. INTRODUCTION	1
2. LOCALISATION ET ACCES	1
3. GEOLOGIE REGIONALE.....	4
4. GEOLOGIE DE LA PROPRIETE.....	5
5. TRAVAUX ANTERIEURS	6
6. TRAVAUX RECENTS	7
7. METHODES ANALYTIQUES.....	8
7.1. Échantillons de sédiments de ruisseau.....	8
7.2. Échantillons de roches.....	8
8. RÉSULTATS.....	10
8.1 Première phase.....	10
8.1.1. Travaux de prospections	10
8.1.2. Géochimie des sédiments de ruisseaux et lithogéochimie	21
8.2 Deuxième phase.....	24
8.2.1. Travaux de prospections	24
9. CONCLUSIONS, RECOMMANDATIONS ET BUDGET.....	28
10. BIBLIOGRAPHIE	30

Listes des figures

Figure 1 : Carte de claims de la propriété La Grande Est, SNRC 33F09.....	3
Figure 2 : Carte géologique de la propriété La Grande Est.....	11
Figure 3 : Carte des anomalies géochimiques Au – Ag – As – Cu.....	22
Figure 4 : Carte des anomalies géochimiques Hg – Mo – Pb – Zn.....	23

Listes des tableaux

Tableau 1 : Liste des claims de la propriété La Grande Est.....	2
Tableau 2 : Meilleurs résultats en Au.....	10

Liste des photographies

Photo 1 : Siltstone avec 10% pyrite en minces lits discontinues ou en disséminées	12
Photo 2 : Veine quartz-tourmaline±carbonate ±pyrite ±chalcopyrite	13
Photo 3 : Siltstone avec lits riche en pyrrhotine, chalcopyrite et pyrite	13
Photo 4 : Formation de fer à oxyde montrant une alternance de lits riches en magnétite et de lits riche en silice.....	14
Photo 5 : Sédiment lité marqué par des lits de siltstone et des lits riche en silice.....	15

Photo 6 : Andésite avec 7 % pyrite disséminée	15
Photo 7 : Contact entre les volcanites et les sédiments au sud-est du lac Bonfait.....	16
Photo 8 : Formation de fer au sud-est du lac Bonfait.....	17
Photo 9 : Zone rouillée près du contact avec la monzodiorite	17
Photo 10 : Veine de quartz contenant 5 % pyrite disséminée	18
Photo 11 : Wacke lessivé avec 5 % pyrite et tourmaline.....	18
Photo 12 : Wacke avec 3 % sulfures disséminées (pyrite ± arsénopyrite)	19
Photo 13 : Argilite graphitique à lentilles pyrite et quartz, et à veinules de pyrrhotine plissée	19
Photo 14 : Monzodiorite avec 10 % pyrite disséminée	20
Photo 15 : Veine quartz – albite – pyrite (0 à 25%).....	20
Photo 16 : Siltstone avec 3 % pyrrhotine et chalcopyrite en amas ou disséminée	21
Photo 17 : Siltstone injecté de veines de quartz-albite	25
Photo 18 : Siltstone contenant 5% Py – Cp – As.....	26
Photo 19 : Siltstone contenant 7% As et 3% Py disséminés ou en lamines discontinues	27

Liste des annexes

Annexe 1 : Procédures d'échantillonnage et d'analyses

Annexe 2 : Certificats d'analyses

1. INTRODUCTION

Les travaux de prospection se sont déroulés du 5 au 28 juin et du 23 septembre au 6 octobre 2006. La première phase avait pour but le rééchantillonnage des ruisseaux où des anomalies en As et Au avait été notées ainsi que l'échantillonnage des ruisseaux de la partie est de la propriété qui n'avaient pas fait l'objet d'échantillonnage. Une prospection au marteau a été effectuée pour l'ensemble de la propriété à l'exception du secteur travaillé par les Mines d'or Virginia. Une attention particulière a été portée aux sédiments détritiques bordant les granitoïdes ainsi que le contact entre ces sédiments et les granitoïdes puisque le projet Éléonore des Mines d'or Virginia, où des teneurs atteignant 53,99 g/t Au / 1 m ont été obtenues, se trouve dans le même bassin sédimentaire et dans un contexte géologique similaire soit des wackes et arkoses au contact avec une intrusion dioritique. La seconde phase a consisté en une prospection au marteau complémentaire aux travaux effectués cet été. Une compilation des résultats des analyses des sédiments de ruisseau de 1995 et de ce printemps, ainsi que ceux des analyses des échantillons de roches de cet été ont permis d'identifier cinq secteurs d'intérêt.

2. LOCALISATION ET ACCES

La propriété La Grande Est est située dans le feuillet SNRC 33F09 (figure 1). Cette propriété englobe les anciennes limites des propriétés suivantes soit la partie est de la propriété La Grande Sud, ainsi que la propriété Lac Bonfait. Elle est bordée au nord par le réservoir La Grande et à l'ouest par le réservoir Sakami. La végétation est de type taïga et appartient au domaine de la pessière à lichens.

La propriété La Grande Est appartient à 100 % aux Mines d'Or Virginia inc. et elle contient 120 cellules (tableau 1). Ces cellules se trouvent entièrement dans le Permis d'Exploration Minière numéros PEM 984 (Lac Bonfait) et partiellement dans les Permis d'Exploration Minière numéros PEM 955 (La Grande Sud), PEM 961 (La Grande Sud) et PEM 963 (La Grande Est) maintenant

révoqués ou expirés. Matamec Explorations inc. a conclu une convention d'option avec Mines d'Or Virginia inc. afin d'acquérir un intérêt indivis de 50 % dans la propriété La Grande Est.

L'accès à la propriété se fait à partir de la route Transtaïga qui traverse la propriété entre les kilomètres 74,5 et 91. Le lac Bonfait est une bonne voie de pénétration pour la partie sud-ouest de la propriété.

Tableau 1

Liste des claims de la propriété La Grande Est							
0044554	0044569	0044588	1127562	1127577	1127592	1127607	1127876
0044555	0044570	1121724	1127563	1127578	1127593	1127608	1127877
0044556	0044571	1121725	1127564	1127579	1127594	1127609	1127878
0044557	0044572	1121726	1127565	1127580	1127595	1127610	1127879
0044558	0044573	1121727	1127566	127581	1127596	1127611	1127880
0044559	0044574	1121728	1127567	1127582	1127597	1127612	1127881
0044560	0044575	1121729	1127568	1127583	1127598	1127613	1127882
0044561	0044576	1121730	1127569	1127584	1127599	1127614	1127883
0044562	0044579	1121731	1127570	1127585	1127600	1127615	1127884
0044563	0044580	1121732	1127571	1127586	1127601	1127616	1129168
0044564	0044583	1121733	1127572	1127587	1127602	1127617	1129171
0044565	0044584	1121734	1127573	1127588	1127603	1127618	1129172
0044566	0044585	1121735	1127574	1127589	1127604	1127873	1129173
0044567	0044586	1127560	1127575	1127590	1127605	1127874	1129174
0044568	0044587	1127561	1127576	1127591	1127606	1127875	1129175

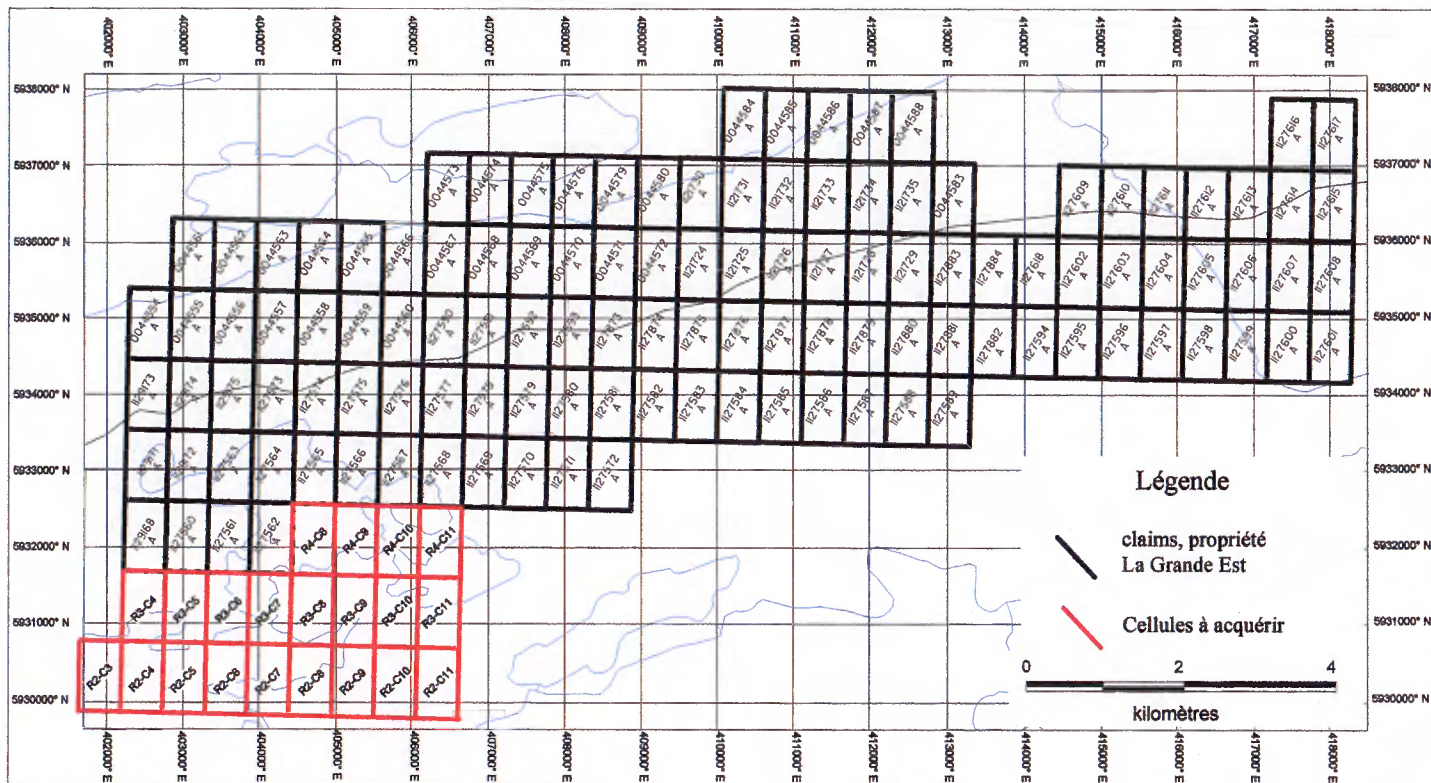


Figure 1 : Carte des claims de la propriété La Grande Est, SNRC 33F09

3. GEOLOGIE REGIONALE

La propriété La Grande Est se trouve dans la province du Supérieur. La sous-province de La Grande occupe la partie nord de la propriété. Cette portion de la propriété est composée du Groupe de Yasinski (2732 \pm 8/-6 Ma, Goutier et al., 1998), un corridor contenant une unité volcano-sédimentaire qui consiste en une séquence de formation de fer, de basalte, d'andésite, de dacite et de pyroclastite intermédiaire. Cette unité s'est déposée et mise en place lors de l'ouverture d'un rift qui a entraîné la formation de bassins locaux de sédiments matures (Goutier et al., 2001). Les intrusions de Duncan (2716 \pm 3 Ma et 2709 \pm 6/-4 Ma; Goutier et al., 1998 ; Goutier et al., 1999) dont la composition est tonalitique, dioritique et monzodioritique occupent la partie nord de la propriété. Dans la partie sud de la propriété, nous retrouvons le Groupe de Laguiche (2648 \pm 50 Ma, Machado, communication personnelle en 1999 de Goutier et al., 2001) et le pluton de Bonfait qui appartiennent à la sous-province d'Opinaca. Le pluton de Bonfait dont la composition varie de dioritique à monzodioritique à granitique fait intrusion dans les sédiments détritiques du Groupe de Laguiche. Ce Groupe se compose d'une alternance de wacke feldspathique et de mudrocks, d'un conglomérat polygénique à caillou et d'un paragneiss à biotite. Il s'est déposé par sédimentation de turbidites dans un grand bassin qui correspond à la sous-province de l'Opinaca (Goutier et al., 2001). Dans la propriété de La Grande Est, le Groupe de Laguiche est représenté par l'alternance de wacke felspathique et de mudrocks. Au contact entre la sous-province de La Grande et la sous-province de l'Opinaca, une unité composée de tuf felsique à cendres, de formation de fer et de conglomérat polygénique appartenant au Groupe de Laguiche contient plusieurs indices aurifères dont l'indice Marylou. Des dykes de gabbro viennent recouper le Groupe de Laguiche et montrent une direction nord-ouest.

Le métamorphisme de la région est caractérisé par le faciès des schistes verts à celui des amphibolites (Goutier et al., 2001). Ainsi, le Groupe de Yasinski a subi un métamorphisme de ce grade causé par les phases de déformation l'ayant affectées. Ce métamorphisme a eu lieu avant la mise en place des Intrusions de Duncan. Par la suite, le Groupe de Laguiche et le Groupe de Yasinski ont été affectés par un métamorphisme également au grade des schistes verts et des amphibolites. Ce métamorphisme est relié aux phases de déformation ayant affectées ces roches.

4. GEOLOGIE DE LA PROPRIETE

La description de la géologie de la propriété est basée sur les travaux de cartographie effectués par Mines d'Or Virginia inc. Le nord de la propriété est composé d'intrusions dioritiques et tonalitiques. Ainsi, la grille KM-85 (Simard et Landry, 1997) situé dans la partie nord de la propriété est constitué d'une bande de roche verte d'une épaisseur maximale de 250 m. Cette bande est composée de basalte bien folié, à grain fin et localement riche en chlorite intercalé avec des bandes métriques de roches volcaniques felsiques. Des wackes arkosiques à feldspathiques et des tufs felsiques sont retrouvés au sud de ces volcanites. À l'intérieur de cette séquence, des formations de fer au faciès oxydé, des conglomérats monomictes, ainsi que des horizons de siltstone et de shale graphitique. À l'ouest de la grille KM-85, une formation de fer à faciès oxydé accompagnée d'argilite graphitique est retrouvée au sud des volcanites mafiques (basalte et andésite).

Au sud de cette séquence, des siltstones et des mudstones en bandes millimétriques à centimétriques gris foncé sont souvent métamorphisés. Ils deviennent des schistes à biotite, chlorite, feldspath et parfois quartz de couleur noir. Des lambeaux de formation de fer au faciès oxydé, des horizons de tufs et de shales graphitiques ainsi qu'une masse intrusive de composition dioritique sont retrouvés à l'intérieur de cette unité. D'après les travaux de cet été, cette masse intrusive semble reliée au pluton de Bonfait. Au sud de la grille, nous retrouvons majoritairement des siltstone et des wackes. Enfin, un horizon de volcanites mafiques, parfois associé à des formations de fer au faciès oxydé est retrouvé à la limite sud de la propriété et il se poursuit vers l'ouest, immédiatement au sud de la limite de la propriété. Le contact nord entre cette bande volcanique et le pluton de Bonfait à l'ouest et les sédiments à l'est est marqué par une faille régionale cassante dont l'orientation est nord-est. Les volcanites (basaltes et andésites) varient du faciès des schistes verts à celui des amphibolites.

La schistosité principale a une orientation moyenne de N250° avec un pendage qui varie entre 60 et 85°. Plusieurs indicateurs de cisaillement soit des bandes de cisaillement et des rotations et déplacements de veines de quartz le long des plans de la schistosité principale montrent une composante de mouvement dextre. Les formations de fer sont localement plissées et démembrées. Il s'agit soit d'un plissement relié à des déformations synsédimentaires ou d'une complication

structurale reliée à la forte anisotropie de ce type d'unité. Le contact entre les volcanites et les wackes au Sud ainsi que le contact entre les volcanites au Nord est cisailé. Il y a alors une augmentation de la schistosité dans les volcanites et l'allongement des grains dans les wackes et la tonalite. Toutes les unités sont recoupées de veines de quartz avec une orientation moyenne à N310° et un pendage subvertical.

5. TRAVAUX ANTERIEURS

Au cours des années 1970, le ministère des ressources naturelles du Québec a effectué des travaux de cartographie régionale (Sharma, 1974 et 1977), ainsi que de l'échantillonnage des sédiments de ruisseaux et de lacs (Cockburn, 1977).

En 1995, Exploration Diabior (par la suite fusionnée à Mines d'Or Virginia inc.) a effectué des travaux de cartographie sur la propriété lac Bonfait (PEM 984) et ainsi permettre la découverte de l'indice SP-180 où une teneur de 1,6 g/t Au est associée à des formations de fer du faciès oxydé. Ils ont effectué une campagne de décapage basée sur les anomalies électromagnétiques dont la tranchée TR-95-33 localisée sur l'indice SP-180. Des teneurs de 1,60 g/t Au, 2,18 g/t Au et 0,998 g/t Au (Larouche, 1995).

En 1996, Mines d'Or Virginia ont fait couper les lignes sur la grille km 85, ils ont commandé de la géophysique au sol (magnétique, max-min et TBF; Lavoie, 1996), ainsi que des levés magnétiques et électromagnétiques aéroportés (Lambert, 1996). Douze tranchées ont été décapées. Une campagne de cartographie et d'échantillonnage a été effectuée sur cette grille, sur les tranchées, ainsi que sur l'ensemble de la propriété. Ces travaux ont permis de découvrir neuf nouveaux indices dont cinq sont reliés à une formation de fer, deux sont de type filonien (indice Marylou et veine Sawyer) et un est relié à un cisaillement au contact entre les volcanites et les wackes (Simard, 1996). Il y a également eu de la coupe de ligne, un levé magnétique au sol de 24,2 km. Un levé électromagnétique max-min au sol sur 20,0 km, douze tranchées et onze forages (LGS-96-01 à 11) dans l'extension ouest de la grille km 85.

En 1997 et 1998, Mines d'Or Virginia ont effectuées une cartographie, un échantillonnage et des analyses en Au, de 31 éléments et lithogéochimique, ainsi qu'un échantillonnage de till dans la grille km 85 et à l'extérieur de la grille (Simard et Landry, 1997; Cloutier, 1997; Legault et Simard, 1998). Un traçage de l'or à partir des échantillons de till a été effectué (Charbonneau, 1999a).

En 1999, Cambior exploration ont effectué des travaux afin d'y gagner un intérêt de 50% de la propriété La Grande Sud. Un nouvel échantillonnage de till a été effectué afin de faire le suivi des secteurs d'intérêts de 1998, ainsi que l'extension de l'échantillonnage de till à l'ensemble de la propriété La Grande Sud (Simard, 1999; Charbonneau, 1999b et 1999c; Charbonneau, 2000).

En 2000, Cambior inc. et Mines d'Or Virginia inc. ont effectué des travaux de cartographie et d'échantillonnage dans le secteur est de la propriété La Grande Sud (à la limite ouest avec la propriété La Grande Est). Ces travaux ont permis la découverte de l'indice Wogogosh. Les tranchées TR-00-126 à TR-00-131 ont été effectuées dans ce secteur (Simard, 2000).

En 2001, Cambior inc. a effectué des sondages sur la propriété La Grande Sud dont six dans le secteur de l'indice Wogogosh soit les sondages LGS-01-160 à LGS-01-163 et LGS-01-191 à LGS-01-193 (Ducharme, 2002).

6. TRAVAUX RÉCENTS

Les travaux ont été effectués en deux phases soit du 5 au 28 juin et du 23 septembre au 6 octobre 2006. Lors de la première phase, un rééchantillonnage des sédiments de ruisseau a été effectué dans les ruisseaux où des anomalies en Au et en As avaient été obtenues lors des analyses effectuées par les Mines d'Or Virginia. Des échantillons ont été collectés dans les ruisseaux de l'est de la propriété qui n'avaient pas encore été échantillonnés. Des travaux de prospections ont été effectués sur l'ensemble de la propriété, 97 échantillons minéralisés ont été analysés pour l'Au et pour un ensemble d'éléments en trace. Six échantillons ont été analysés pour les éléments majeurs et en

trace. Les résultats des analyses de sédiments de ruisseaux et des roches ont été traités statistiquement.

Lors de la deuxième phase, les travaux de prospection ont été concentrés dans cinq secteurs. La plupart de ces secteurs ont été ciblés suite aux résultats des analyses de sédiments de ruisseaux et de roches de la première phase. Cependant, deux de ces secteurs ont été ciblés à partir des levés magnétiques, l'un montrant une anomalie magnétique positive, alors que dans l'autre, plusieurs failles semblaient présentes. Quelques autres zones où des anomalies en Au dans les échantillons de roches avaient été obtenus ont été à nouveaux prospectés. Suite à ces travaux de prospections, 96 échantillons minéralisés ont été analysés pour l'Au.

7. METHODES ANALYTIQUES

7.1. Échantillons de sédiments de ruisseau

Les échantillons ont été séchés au campement, puis ils ont été envoyés chez Acme analytical laboratories ltd. afin d'y être préparés et analysés. Les échantillons ont été séchés à 60°C, puis tamisés à 80 mailles. Pour la majorité des échantillons, 30 g ont été analysés, à l'exception des échantillons 267062 et 267472 avec 15 g, ainsi que 93743 et 93744 avec 7,5 g. Les échantillons ont été analysés par digestion à l'eau régale. Les échantillons ont été lessivés avec 180 ml dans une proportion de 2-2-2 de HCl-HNO₃-H₂O à une température de 95°C durant une heure, puis dilués pour atteindre un volume de solution dans une proportion de 1g par 20 ml. Les échantillons sont analysés par un ICP-MS Perkin Elmer Elan 6000/9000. Le détail de la procédure analytique est retrouvé à l'Annexe 1.

7.2. Échantillons de roches

Les analyses en Au ont été effectuées au Laboratoire Expert. Les échantillons sont tout d'abord réduits à ¼ de pouce dans un concasseur à mâchoire pour ensuite être concassés à 90%-10 mailles dans un concasseur à rouleaux. Enfin, une portion de 300g est séparée dans un séparateur Jones et cette portion est pulvérisée à 90%-200 mailles dans un pulvérisateur à anneaux. Les échantillons ont été analysés par pyroanalyse avec finition par absorption atomique et lorsque les échantillons

avaient plus de 1g, ils ont été réanalysés par pyroanalyse avec finition par gravimétrie. Les analyses par pyroanalyse avec finition par absorption atomique sont effectuées à partir d'un échantillon de 29,166 g. Cet échantillon est déposé dans un creuset contenant 130 g de fondant, puis 1 mg de nitrate d'argent. Cet échantillon est mis à fusion à 1800 °F pendant 45 minutes. Après refroidissement la scorie est cassée et le bouton de plomb est récupéré pour ensuite être coupellé à 1600 °F jusqu'à oxydation du plomb. Une fois refroidis, la bille est placée dans une éprouvette à laquelle une portion de 0,2 ml d'acide nitrique 1 :1, puis 0,3 ml de HCl. Par la suite 4,5 ml d'eau distillée est ajoutée à l'éprouvette et la concentration d'or est déterminée par absorption atomique. Les analyses par pyroanalyse avec finition par gravimétrie sont effectuées à partir d'un échantillon de 29,166 g. Cet échantillon est déposé dans un creuset contenant 130 g de fondant, puis 1 mg de nitrate d'argent. Cet échantillon est mis à fusion à 1800 °F pendant 45 minutes. Après refroidissement, la scorie est cassée et le bouton de plomb est récupéré pour ensuite être coupellé à 1600 °F jusqu'à oxydation du plomb. Une fois refroidie, la bille est déposée dans un creuset en porcelaine rempli avec de l'acide nitrique 1 : 7. La bille d'or est par la suite rincée dans l'eau chaude distillée, séchée, réchauffée, refroidie et ensuite pesée. Le détail de la procédure analytique est retrouvé à l'Annexe 1.

Les analyses des éléments traces ont été effectuées au Activation Laboratories. Un échantillon de 0,5 g est digéré avec de l'eau régale (0,5 ml H₂O, 0,6 ml de concentré de HNO₃ et 1,8 ml de concentré de HCl) pendant 2 heures à 95°C. Les échantillons sont refroidis, puis dilués à 10 ml avec de l'eau déionisée et homogénéisée. Les échantillons sont par la suite analysés en utilisant un ICP Perkin Elmer Optima 3000 Radial pour la suite de 30 éléments. Une matrice standard et un blanc sont analysés à tous les treize échantillons. Le détail de la procédure analytique est retrouvé à l'Annexe 1.

Les analyses pour les éléments majeurs et traces ont été effectuées au Acme Analytical Laboratories Ltd. Les échantillons sont concassés par un concasseur à mâchoire pour passer à 70% - 10 mailles, puis 250 g est séparé et pulvérisé pour passer à 95% - 150 mailles. Par la suite, les échantillons sont chauffés à 1050°C, puis dissous dans HNO₃ à 5%. Pour le dosage de 18 oxydes et éléments majeurs, les solutions sont aspirées dans un ICP-ES (Jarrel Ash AtomComp Model 975 / Spectro Ciros Vision) et pour le dosage de 34 éléments traces, les solutions sont aspirées dans un ICP-MS (Perkin-

Elmer Elan 6000/9000). Pour le dosage de 14 autres éléments, un second échantillon de 0,5 g est séparé, puis digéré dans l'eau régale et analysé par ICP-MS. Le détail de la procédure analytique est retrouvé à l'Annexe 1.

8. RESULTATS

8.1. Première phase

8.1.1. Travaux de prospections

Les travaux de prospections ont permis de définir sept zones d'intérêt (figure 2). Les meilleurs résultats en Au se trouve dans le tableau 2. La première zone correspond à l'indice Wogogosh de Mines d'Or Virginia inc. Elle se situe dans les volcanites au nord et au nord-ouest du lac Bonfait, plusieurs affleurements sont recoupés par des veines à quartz et tourmaline, et parfois carbonates, pyrite et chalcopryrite. Ces veines contiennent au plus 1 % de sulfure. Un décapage situé au nord-ouest du lac Bonfait est composée d'un siltstone contenant 10 % pyrite en minces lits discontinues ou en disséminées (photo 1) et il est recoupé par des veines quartz, tourmaline, ±carbonate, ±pyrite et ±chalcopryrite (photo 2). Des anomalies en As variant entre 9,2 et 12,6 ppm et en Au de 4,5 ppb avaient déjà été notées dans cette zone dans des échantillons de sédiments de ruisseau. Une teneur en Au de 1 468 ppb a été obtenue dans le siltstone, alors qu'une teneur en Au de 893 ppb a été obtenue dans une veine quartz, tourmaline, carbonate, pyrite et chalcopryrite.

Tableau 2

Meilleurs résultats en Au				
	no échantillon	estant	nordant	Au g/t
juin 2006	93621	406150	5934036	0,64
	267065	402125	5933285	0,89
	267066	402231	5933301	1,47
octobre 2006	93817	402904	5930241	0,70
	93822	406201	5934164	2,69
	93823	406201	5934164	1,15
	267038	405773	5930493	1,74
	267130	405084	5930409	1,82
	267138	405773	5930493	0,70

NUMÉRIQUE

PAGE DE DIMENSION HORS STANDARD
NUMÉRISÉE ET POSITIONNÉE À LA SUITE DES
PRÉSENTES PAGES STANDARDS.

La seconde zone d'intérêt se situe au nord-est du lac Bonfait. La zone minéralisée se situe au contact entre la monzodiorite, les sédiments et les basaltes. Un des affleurements sur le bord du lac a déjà été décapé. La partie nord du décapage est composée, sur 15 m, d'un wacke fortement déformé avec certaines zones mylonitiques, puis en se dirigeant vers le sud, plusieurs zones légèrement rouillées sur 2 m d'épaisseur en contact avec des zones de cisaillement riche en biotite et grenat. Puis sur 10 m, toujours vers le sud, l'affleurement devient très rouillé et les sulfures sont retrouvés près de la rive dans la partie le plus au sud de l'affleurement. Des niveaux riches en sulfures forment des lits à pyrrhotine (10 %), chalcopryrite (5 %) et pyrite (5 %) (photo 3) où une teneur anormale en Au de 48 ppb a été obtenue.



Photo 1 : Siltstone avec 10% pyrite en minces lits discontinues ou en disséminées



Photo 2 : Veine quartz-tourmaline±carbonate ±pyrite ±chalcopyrite



Photo 3 : Siltstone avec lits riche en pyrrhotine, chalcopyrite et pyrite

La troisième zone d'intérêt se trouve au sud de l'unité volcano-sédimentaire situé dans la partie nord de la propriété. Les sédiments varient d'une composition de siltstone à wacke. Ils sont légèrement chloritisés et parfois silicifiés. L'altération est également marquée par la cristallisation d'actinote et séricite, ainsi que des porphyroblastes de grenat. La minéralisation se trouve associée à de minces formations de fer à oxyde caractérisées par de minces lits riches en magnétique qui alternent avec des lits riches en silice. Ces lits riches en silice contiennent 1 à 5 % pyrite (photo 4). Dans un niveau

rouillé de 20 cm d'épaisseur associé à une formation de fer de 10 cm d'épaisseur, une teneur en Au de 639 ppb a été obtenue. Des lits riches en quartz peuvent également alterner avec des lits noirs non-magnétique de siltstone (photo 5). Le siltstone et le wacke contiennent peu de sulfure soit moins de 2 % de pyrite disséminée ou en fines lamines parallèles à la schistosité. Plusieurs teneurs anormales en Au variant entre 24 et 193 ppb ont été obtenues dans cette zones lors de cette campagne de prospection. Des teneurs en Au pouvant atteindre 1 931 ppb ont déjà été obtenues dans cette zone.

La quatrième zone d'intérêt se situe se situe à l'ouest du lac Bonfait au contact entre l'andésite, la monzodiorite et le wacke. Une teneur anormale en Au de 105 ppb a été obtenue dans une andésite qui contient 7% de pyrite disséminée (photo 6).



Photo 4 : Formation de fer à oxyde montrant une alternance de lits riches en magnétite et de lits riche en silice.



Photo 5 : Sédiment lité marqué par des lits de siltstone et des lits riches en silice



Photo 6 : Andésite avec 7% pyrite disséminée

La cinquième zone d'intérêt se trouve au contact sud de l'intrusion granitique à monzodioritique où une enclave de 2,5m d'épaisseur de formation de fer et de siltstone a donné des teneurs en Au légèrement anormales. Ces teneurs en Au varient entre 22 et 47 ppb. Cet affleurement se trouve probablement au contact même entre les sédiments et l'intrusif.

La sixième zone d'intérêt se trouve dans la partie sud-ouest de la propriété où une nouvelle bande volcano-sédimentaire a été découverte. Cette bande volcano-sédimentaire dont la schistosité est orientée à N066/79 est probablement la continuité des volcanites trouvées à l'ouest de l'intrusion granitique à monzodioritique. Cette bande d'une épaisseur de 800 m est composée de basalte ou d'andésite (photo 7), de formation de fer du faciès oxydé (photo 8), ainsi que de siltstone et d'argilite graphitique. Cette bande est bordée au sud par une zone de déformation orientée nord-est – sud-ouest. Deux types de minéralisation sont trouvées dans cette unité. Le premier type de minéralisation se retrouve au contact de la monzodiorite (photo 9). La minéralisation est associée à une veine de quartz de 60 cm d'épaisseur, gris pâle qui contient 5 % pyrite à grain fin à grossier (photo 10). Au contact entre la veine de quartz et le sédiment, probablement un wacke, l'encaissant est lessivé sur 2 m d'épaisseur et il contient 5 % pyrite à grain moyen, cubique, ainsi que de la tourmaline (photo 11). Ensuite, nous retrouvons un wacke qui contient 3 % de sulfures disséminés soit de la pyrite et de l'arsénopyrite (photo 12).



Photo 7 : Contact entre les volcanites et les sédiments au sud-est du lac Bonfait



Photo 8 : Formation de fer au sud-est du lac Bonfait



Photo 9 : Zone rouillée près du contact avec la monzodiorite

Le second type de minéralisation se trouve dans l'argilite graphitique, le siltstone et l'andésite et il se présente en plusieurs zones rouillées dispersées tout au long de la bande volcano-sédimentaire. La majorité des affleurements minéralisés contiennent de la pyrite, de la pyrrhotine et parfois de la chalcopyrite. Les sulfures (3 à 10 %) sont finement disséminés, en amas et en veinules discontinues. Des veines à quartz-albite qui peuvent contenir jusqu'à 5 % pyrite s'injectent dans le siltstone. L'affleurement le plus riche en sulfure (25 %) de cette unité est une argilite graphitique qui contient des lentilles à pyrite et quartz, ainsi qu'à veinules de pyrrhotine plissées (photo 13) situé à proximité d'une faille fragile. Dans cette unité, des teneurs anormales en As de 2 et 4 ppm ont été observées

dans des échantillons de sédiments de ruisseau. Des teneurs en Au légèrement anormales de 19 à 28 ppb ont été obtenues dans le sud de cette bande dans un siltstone magnétique qui contient 5% pyrite et pyrrhotite, ainsi que dans un siltstone recoupé par une veine de pyrite près du contact avec la monzodiorite.



Photo 10 : Veine de quartz contenant 5 % pyrite disséminée



Photo 11 : Wacke lessivé avec 5% pyrite et tourmaline

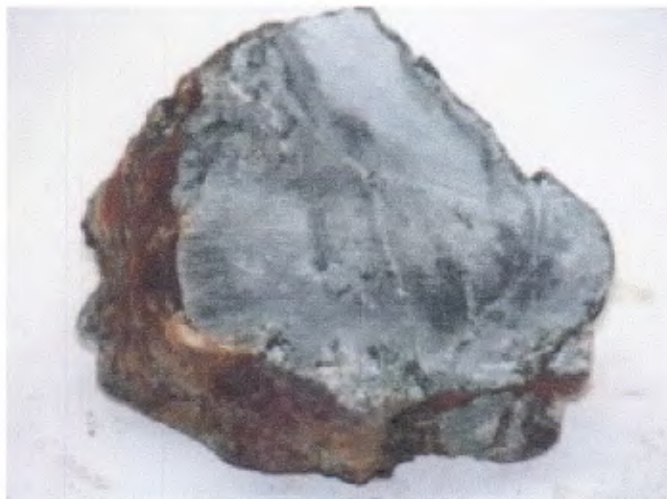


Photo 12 : Wacke avec 3% sulfures disséminées (pyrite ± arsénopyrite)



Photo 13 : Argilite graphitique à lentilles pyrite et quartz, et à veinules de pyrrhotine plissée

La septième zone d'intérêt se situe dans la partie est de la propriété où une nouvelle intrusion a été définie. Cette intrusion de composition granitique à dioritique fait intrusion dans un siltstone. La minéralisation se trouve au contact entre l'intrusion et le siltstone. Ces deux lithologies contiennent 10 % de pyrite disséminée (photo 14) et parfois des veinules de pyrite massive. Cette minéralisation est associée à des veines de quartz, albite et pyrite (0 à 25 %) (photo 15). La pyrite se trouve en veinules dans la veine de quartz. En s'éloignant légèrement du contact, le siltstone contient 3 % de pyrrhotine en amas ou disséminée (photo 16). Les amas de pyrrhotine contiennent également de la chalcopryrite. Il n'y a pas de teneurs significatives qui ont été obtenues dans cette zone.



Photo 14 : Monzodiorite avec 10% pyrite disséminée



Photo 15 : Veine quartz – albite – pyrite (0 à 25%)



Photo 16 : Siltstone avec 3% pyrrhotine et chalcopyrite en amas ou disséminée

8.1.2. Géochimie des sédiments de ruisseaux et lithogéochimie

Il y a eu compilation de l'ensemble des résultats de géochimie, autant ceux provenant des analyses des sédiments de ruisseaux et des roches de cet été, que les résultats antérieurs provenant des analyses effectuées par les Mines d'Or Virginia inc. sur les échantillons des sédiments de ruisseaux récoltés par le MRNQ (figure 3 et figure 4). Le rééchantillonnage des sédiments de ruisseaux a permis de vérifier les résultats antérieurs. Cependant, une forte anomalie en Au située au nord de la grille Km 85 dans la tonalite appartenant aux intrusions de Duncan n'a pu être répétées. Cependant, de très faibles teneurs en Au se situant entre 1 et 5 ppb sont retrouvées en aval de ce ruisseau, ainsi qu'une anomalie en As. Suite à l'échantillonnage des sédiments de ruisseau de cet été, aucune nouvelle anomalie en Au n'a été obtenue.

Les anomalies de géochimie de roches et de sédiments de ruisseau sont majoritairement situées au nord du pluton de Bonfait. Complètement à l'ouest de la propriété, dans le groupe de Yasinski, la majorité des échantillons provenant de deux ruisseaux montrent des anomalies en As et Cu. Plus à l'est, dans un ruisseau coulant vers le sud dont la source se trouve dans le siltstone et le wacke au nord de l'intrusion, des anomalies en Hg, Zn et Cu sont retrouvées tout au long de ce ruisseau. Près de la source de ce ruisseau, plusieurs échantillons de roches ont des teneurs en Au supérieures à 1 g/t. Ce secteur a été revisité lors de la seconde phase des travaux. Un autre ruisseau plus à l'est qui prend sa source dans la grille Km 85, montre des anomalies en As, Zn, Hg et Mo, cependant aucun indice

NUMÉRIQUE

PAGE DE DIMENSION HORS STANDARD
NUMÉRISÉE ET POSITIONNÉE À LA SUITE DES
PRÉSENTES PAGES STANDARDS.

ne semble présent à la source de ce ruisseau, mais il y a un indice plus à l'est. D'autres anomalies dans ce secteur sont davantage sporadiques. Ainsi, des anomalies en Au dans les échantillons de roches sont dispersées dans cette zone. Quelques échantillons de sédiments de ruisseau et de roches regroupés montrent des anomalies en As, Hg, Pb, Zn et Cu.

Trois secteurs ont pu être identifiés et ils ont été prospectés lors de la deuxième phase des travaux. Ainsi, au sud de la propriété, deux zones montrent des anomalies. La première zone située près de la limite sud du pluton de Bonfait montrent des anomalies en Pb, Zn, Cu et Au. La seconde zone, légèrement plus à l'est montrent des anomalies en Pb, Zn et Cu. Enfin, la troisième zone située dans la partie est de la propriété montrent des anomalies de ruisseau en Hg, Pb et Zn. Ces anomalies sont retrouvées dans quatre ruisseaux, à la même latitude vis-à-vis une mince anomalie magnétique est-ouest. Plusieurs anomalies magnétiques est-ouest sont retrouvées dans ce secteur et ont été interprétées comme étant des formations de fer (Goutier et al., 2001).

8.2. Deuxième phase

8.2.1. Travaux de prospection

Lors de cette seconde phase, les trois secteurs identifiés suite à l'interprétation des analyses des échantillons de roche et des sédiments de ruisseau ont été prospectés, ainsi que deux autres secteurs, l'un montrant une anomalie magnétique positive et l'autre, qui semble faillé d'après les levés magnétiques (figure 2). Enfin, le secteur où une teneur de 639 ppb avait été obtenue en juin a été prospecté à nouveau. Les meilleurs résultats en Au se trouvent dans le tableau 2.

Le premier secteur correspond à la cinquième zone d'intérêt définie lors de la première phase des travaux de prospection. Des teneurs en Au qui varient entre 22 et 47 ppb avaient alors été obtenues dans une enclave de formation de fer et de siltstone dans une monzodiorite. En plus de l'anomalie en Au, les échantillons de ce secteur ont également donné une anomalie en Ag. Ce secteur a également été choisi étant donné la présence d'une anomalie magnétique. D'après nos travaux d'exploration de l'automne 2007, l'anomalie magnétique est provoquée par une intrusion monzodioritique à gabbroïque litée contenant des niveaux de magnétique massive. La foliation de cette intrusion est

bien développée et pourrait être reliée à une zone de déformation orientée nord-est – sud-ouest (Goutier et al., 2001). L'intrusion est composée d'une alternance de monzodiorite à porphyres de feldspath potassique, de diorite et de gabbro. Le gabbro est amphibolitisé et contient des porphyroblastes de grenat. À l'est de l'intrusion, une formation de fer au faciès oxydé d'une quinzaine de mètre d'épaisseur appartient probablement à la bande volcanique rencontrée à l'est du lac Bonfait. Une teneur en Au de 1 825 ppb est associée à cet affleurement. Plus à l'est, nous retrouvons un siltstone dont le rubanement est marqué par l'injection de veines de quartz et albite parallèle à la schistosité (photo 17). Ces veines peuvent représenter jusqu'à 60% de l'affleurement et être plissées. Une teneur en Au de 695 ppb est obtenue dans les veines de quartz et albite, alors qu'une teneur de 1737 ppb a été obtenue dans l'éponte de ces veines (photo 18).



Photo 17 : Siltstone injecté de veines de quartz-albite



Photo 18 : Siltstone contenant 5% Py – Cp – As

Le second secteur se situe immédiatement au nord du premier où des analyses de sédiments de ruisseau montre des anomalies en Pb, Zn, Cu et Au. Ce secteur se trouve à l'intérieur de l'intrusion du lac Bonfait. Ce secteur est majoritairement constitué de diorite à quartz et de siltstone. Le siltstone peut contenir jusqu'à 5% de pyrite en lamine ou disséminée, mais aucune teneur anormale en Au n'a été obtenue.

Le troisième secteur se trouve dans le prolongement des deux premiers secteurs vers le nord-est, soit la direction de la foliation, au sud de la sixième zone d'intérêt. Il s'agit d'un secteur montrant des anomalies en Pb, Zn et Cu dans un échantillon de sédiments de ruisseau et qui n'avait pas été prospecté au mois de juin. Les lithologies retrouvées dans ce secteur sont principalement un grauwacke et un siltstone dont la schistosité est bien développée. Aucune teneur anormale en Au n'a été obtenue dans ce secteur.

Le quatrième secteur situé dans la portion sud de la propriété correspond à une zone qui n'avait pas été prospecté lors de la première phase et qui semble présenter plusieurs failles d'après les levés magnétiques. La bande volcano-sédimentaire se poursuit vers l'est jusqu'à ce secteur. Ainsi, le basalte est la principale lithologie retrouvée dans ce secteur et en quantité moindre, du siltstone, du grauwacke et de l'andésite. Le basalte contient peu de sulfure soit 1% de pyrite disséminée, mais

nous y retrouvons des teneurs anormales en Au, soit 114 ppb et 156 ppb. Les teneurs anormales ont été obtenues dans un basalte très magnétique montrant une légère schistosité.

Dans le cinquième secteur, des anomalies en Hg, Pb, Zn et Ag ont été déterminées suites aux analyses des sédiments de ruisseau. Une anomalie magnétique orientée est-ouest se trouve également dans ce secteur et elle a été interprétée comme étant une formation de fer. Lors des travaux de prospection, peu d'affleurements ont été rencontrés dans ce secteur. Cependant, l'anomalie magnétique positive semble produite par des niveaux d'andésite magnétique parfois amphibolitisés. Il s'agit alors d'une amphibolite à grenat.

Enfin, le sixième secteur correspond au secteur où une teneur en Au de 639 ppb avait été obtenue en juin. Ainsi, d'autres formations de fer ont été trouvées à proximité de cet affleurement, cependant aucune teneur n'est associée à ces nouveaux affleurements. De plus, 130 m au nord, des teneurs en Au de 1 146 ppb et de 2 692 ppb ont été obtenues dans un siltstone à grain fin, non magnétique contenant 10 % de sulfures (7 % As et 3 % Py) disséminés ou en petites lamines discontinues (photo 19). Des veinules de quartz boudinées sont injectées dans le siltstone. La pyrite en veine massive est parallèle à la schistosité du siltstone.



Photo 19 : Siltstone contenant 7% As et 3% Py disséminés ou en lamines discontinues

9. CONCLUSIONS ET RECOMMANDATIONS

Les travaux de prospection effectués du 5 au 28 juin 2006 ont permis d'identifier sept zones d'intérêt dont quatre nouvelles découvertes. Cinq secteurs ont été explorés lors des travaux effectués du 23 septembre au 6 octobre 2006.

Des teneurs en Au de 1 468 ppb et de 893 ppb ont été obtenues au nord-ouest du lac Bonfait sur un affleurement de siltstone recoupé par des veines de quartz-tourmaline-carbonate-pyrite-chalcopryrite. Cet affleurement correspond à l'indice Wogogosh de Mines d'Or Virginia inc.

Plusieurs teneurs en Au avaient déjà été obtenues par Mines d'or Virginia en 1995 dans la zone immédiatement au sud de l'unité volcano-sédimentaire qui se trouve dans la partie nord de la propriété. Ainsi, dans la tranchée TR-95-33 des teneurs en Au varient entre 998 et 1931 ppb, ainsi que de faibles teneurs variant entre 106 et 605 ppb. Lors des travaux de l'été et de l'automne 2006, des teneurs en Au de 2 692 ppb, de 1 146 ppb et de 639 ppb, ainsi que plusieurs teneurs anormales en Au ont été obtenues dans les siltstones et les formations de fer qui se trouve immédiatement au sud de l'unité dont la minéralisation est caractérisée par la pyrite et l'arsénopyrite disséminée ou en lamines. Un décapage sur l'affleurement où les teneurs les plus élevées ont été obtenues pourrait permettre de mieux comprendre cette minéralisation.

Une nouvelle unité volcano-sédimentaire composée d'andésite ou de basalte et de formation de fer, se trouve dans la partie sud de la propriété. Les travaux de l'automne ont permis de confirmer qu'elle constitue la continuité des andésites retrouvée au sud-ouest de la propriété. Une teneur en Au de 1 825 ppb est associée à une formation de fer. Dans un siltstone injecté de veine de quartz et albite, des teneurs en Au de 1737 ppb et de 695 ppb sont obtenues respectivement dans l'éponte et dans les veines de quartz et albite. Il s'agit d'un autre secteur qui mériterait d'être décapé. Le secteur comprenant cette unité volcano-sédimentaire située au sud des limites de la propriété devrait être jalonné pour un total de 21 nouvelles cellules

Il serait également intéressant, étant donné les résultats des travaux de prospections de cette année, soit la découverte de continuité d'une bande volcano-sédimentaire, de pousser la prospection encore plus au sud de la limite de la propriété, dans l'unité sédimentaire. D'après la carte de compilation du MRNQ RG-2000-10 (Goutier et al., 2001), peu de travaux et peu d'affleurements ont été répertoriés dans cette zone, ce qui laisse entrevoir la possibilité de découvrir d'autres contextes favorables pour des minéralisations aurifères.

Budget

Acquisition de cellules (21 nouvelles cellules)	2 310
Décapage et échantillonnage	40 000
Suivi du décapage s'il y a lieu et prospection.....	77 690
Total	120 000



Emmanuelle Giguère

Fait à Val-d'Or, le 15 janvier 2007

OGQ # 660

BIBLIOGRAPHIE

Charbonneau, R. 1999b. Suivi des traînées aurifères et extension de l'échantillonnage du till à l'ensemble de la propriété La Grande Sud. Cambior inc. GM 57836. 48 pages.

Charbonneau, R., 1999a. Traçage de l'or dans le till à la propriété La Grande Sud. Mines d'or Virginia inc. GM 58315. 85 pages.

Charbonneau, R., 1999c. Suivi des traînées aurifères et extension de l'échantillonnage du till à l'ensemble de la propriété La Grande Sud. Mines d'or Virginia inc. GM 57562. 286 pages.

Charbonneau, R., 2000. Suivi des traînées aurifères et extension de l'échantillonnage du till à l'ensemble de la propriété La Grande Sud, rapport final. Mines d'or Virginia inc. GM 59204. 309 pages.

Cloutier, M .A., 1997. Rapport des travaux d'échantillonnage de till, propriété Aéroport et La Grande Sud. Mines d'or Virginia inc. GM 55515. 357 pages.

Cockburn, G.H., 1977. Atlas géochimique des sédiments de ruisseau : La grande rivière. DPV 455 et DPV 456, MRNQ, 500 pages.

Ducharme, Y., 2002. Rapport des campagnes de forage, juin & octobre @ décembre 2001, propriété La Grande Sud (#244). Mines d'or Virginia inc. GM 59624 675 pages.

Goutier, J., Doucet, P., Dion, C., Beusoleil, C., David, J., Parent, M., Dion, D.J., 1998. Géologie de la région du lac Kowskatehkakmow (33F/06). Ministère des Ressources naturelles, Québec; RG 98-16, 48 pages.

Goutier, J., Lafrance, I., David, J., Parent, M., Dion, D.-J., 1999. Géologie de la région des lacs Langelier et Threefold (33F/03 et 33F/04). Ministère des Ressources naturelles, Québec ; RG 98-18, 52 pages.

Goutier, J., Dion, C., Ouellet, M.C., Mercier-Langevin, P., Davis, D.W., 2001. Géologie de la colline Masson, de la passe Awapakamich, de la Baie Carbillet et de la passe Pikwahipanan (SNRC 33F/09, 33F/10, 33F/15 et 33F/16). Ministère des Ressources naturelles, Québec; RG 2000-10. 68 pages.

Lambert, G., 1996. Levés magnétiques et électromagnétiques aéroportés, projet La Grande Sud. Mines d'or Virginia inc. GM 54452. 13 pages.

Larouche, C., 1995. Rapport des travaux été 1995, propriété La Grande Sud & propriété Lac Bonfait. Exploration Diabior inc. GM 53740. 144 pages.

Lavoie, C., 1996. Levés géophysiques, PP, EMH, TBF & MAG, projet La Grande Sud. Mines d'or Virginia inc. GM 56872. 27 pages.

Legault, M., Simard, P., 1998. Rapport des travaux de terrain, propriété La Grande Sud et Lac Bonfait. Mines d'or Virginia inc. GM 56208. 535 pages.

Sharma, K.N.M., 1977. Région La Grande rivière. Rapport géologique #184, MRNQ, 75 pages.

Simard, P., 1996. Rapport des travaux, propriété La Grande Sud. Mines d'or Virginia inc. GM 54334. 34 pages.

Simard, P., 1999. Rapport des travaux de terrain, propriété La Grande Sud Volume 1/2. Mines d'or Virginia inc. GM 57561. 258 pages.

Simard, P., 2000. Propriété La Grande Sud, rapport des travaux de terrain. Mines d'or Virginia inc. GM 58491. 203 pages.

Simard, P., Landry, N., 1997. Rapport des travaux de terrain, propriété La Grande Sud. Mines d'or Virginia inc. GM 55822. 859 pages.

ANNEXE 1

PROCEDURES D'ECHANTILLONNAGE ET D'ANALYSES

PRÉPARATION DES ÉCHANTILLONS

1- Réception des échantillons

Lors de la réception, les échantillons sont placés en ordre numérique pour ensuite être comparé avec la feuille d'envoi du client afin de s'assurer que tout concorde. Si les échantillons reçus ne correspondent pas à la liste du client, celui-ci en sera informé. Si le client n'inclut aucune feuille d'envoi, la personne en charge de la réception des échantillons en préparera une.

2- Préparation des échantillons

L'échantillon est séché si nécessaire pour être ensuite réduit à ¼ de pouce dans un concasseur à mâchoire. Le concasseur est nettoyé entre chaque échantillon à l'aide d'un compresseur à air et de plus, il est nettoyé avec du matériel stérile entre chaque lot. L'échantillon est ensuite concassé à 90% - 10 mailles dans un concasseur à rouleaux. Ce même concasseur est nettoyé entre chaque échantillon à l'aide d'un compresseur à air et d'une brosse métallique et de plus, il est nettoyé avec du matériel stérile entre chaque lot. Le premier échantillon de chaque lot est tamisé à 10 mailles afin de déterminer si 90% passe à 10 mailles. En cas contraire, le concasseur à rouleaux est ajusté et un autre test est effectué. Les résultats de ces tests sont notés sur un registre prévu à cette fin. Une portion de 300 grammes est ensuite séparée dans un séparateur Jones et cette portion est pulvérisée à 90% - 200 mailles dans un pulvérisateur à anneaux. Le pulvérisateur est nettoyé entre chaque échantillon à l'aide d'un compresseur à air et de plus, il est nettoyé avec de la silice entre chaque lot. Le premier échantillon de chaque lot est tamisé à 200 mailles. Si 90% ne passe pas, le temps de pulvérisation est alors augmenté et un autre test est effectué. Les résultats de ces tests sont notés sur un registre prévu à cette fin. Le matériel en surplus (le rejet) est entreposé pour le client.

OR PAR GÉOCHIMIE (PYROANALYSE)

Un échantillon de 29.166 grammes est pesé et versé dans un creuset dans lequel on a, au préalable, déposé environ 130 grammes de fondant. L'échantillon est ensuite mélangé et 1 mg de nitrate d'argent y est ajouté. L'échantillon est alors mis en fusion à 1800 ° Fahrenheit pour environ 45 minutes. Celui-ci est versé dans un moule conique et on le laisse refroidir. Après refroidissement, la scorie est cassée et un bouton de plomb pesant de 25 à 30 grammes est récupéré. Ce bouton est alors coupé à 1600 ° Fahrenheit et ce, jusqu'à ce que le plomb soit oxydé. Après refroidissement, la bille est placée dans une éprouvette de 12 X 75 mm. Une portion de 0.2 ml d'acide nitrique 1 :1 est ajoutée pour permettre une réaction. L'éprouvette est déposée dans un bain d'eau pour environ 30 minutes. Ensuite, 0.3 ml acide hydrochlorique concentré est ajouté pour permettre une seconde réaction, toujours dans un bain d'eau pour un autre 30 minutes. L'éprouvette est ensuite retirée du bain d'eau et 4.5 ml d'eau distillée y est ajoutée. L'échantillon est alors mélangé vigoureusement pour ensuite le laisser reposer et la concentration d'or est déterminée par absorption atomique.

Chaque lot allant au four comprend 28 échantillons incluant un blanc et un standard pour l'or. Les creusets ne sont réutilisés tant et aussi longtemps que nous n'avons pas eu les résultats d'analyse. Les creusets ayant contenus des échantillons ayant une valeur supérieure à 200 PPB sont jetés. La limite de détection minimale est de 2 PPB et les échantillons ayant des valeurs supérieures à 1000 PPB sont réanalysés par gravimétrie.

OR PAR GRAVIMÉTRIE (PYROANALYSE)

Un échantillon de 29.166 grammes est pesé et versé dans un creuset dans lequel on a, au préalable, déposé environ 130 grammes de fondant. L'échantillon est ensuite mélangé et 1 mg de nitrate d'argent y est ajouté. L'échantillon est alors mis en fusion à 1800 ° Fahrenheit pour environ 45 minutes. Celui-ci est versé dans un moule conique et on le laisse refroidir. Après refroidissement, la scorie est cassée et un bouton de plomb pesant de 25 à 30 grammes est récupéré. Ce bouton est alors coupé à 1600 ° Fahrenheit et ce, jusqu'à ce que le plomb soit oxydé. Après refroidissement, la bille est aplatie à l'aide d'un marteau pour ensuite être déposée dans un creuset en porcelaine (parting cup). Ce creuset est rempli avec de l'acide nitrique 1 :7 et chauffé jusqu'à dissolution de l'argent. Quand la réaction semble terminée, une goutte d'acide nitrique concentrée est ajoutée et l'échantillon est observé afin de s'assurer qu'il n'y ait aucune autre réaction. La bille d'or est alors rincée plusieurs fois dans de l'eau chaude distillée, séchée, réchauffée, refroidie et ensuite pesée.

Chaque lot allant au four comprend 28 échantillons incluant un blanc et un standard pour l'or. Les creusets ne sont réutilisés tant et aussi longtemps que nous n'avons pas eu les résultats d'analyse. Les creusets ayant contenus des échantillons ayant une valeur supérieure à 3.00 g/t sont jetés. La limite de détection minimale est de 0.03 g/t et il n'y a aucune limite de détection maximale. Tous les échantillons ayant des valeurs supérieures à 3.00 g/t sont réanalysés avant de soumettre le rapport final.

Code 1E1

0.5 g of sample is digested with aqua regia (0.5 ml H₂O, 0.6 ml concentrated HNO₃ and 1.8 ml concentrated HCl) for 2 hours at 95°C. Sample is cooled then diluted to 10 ml with deionized water and homogenized. The samples are then analyzed using a Perkin Elmer OPTIMA 3000 Radial ICP for the 30 element suite. A matrix standard and blank are run every 13 samples. For vegetation a 0.25 g sample is used.

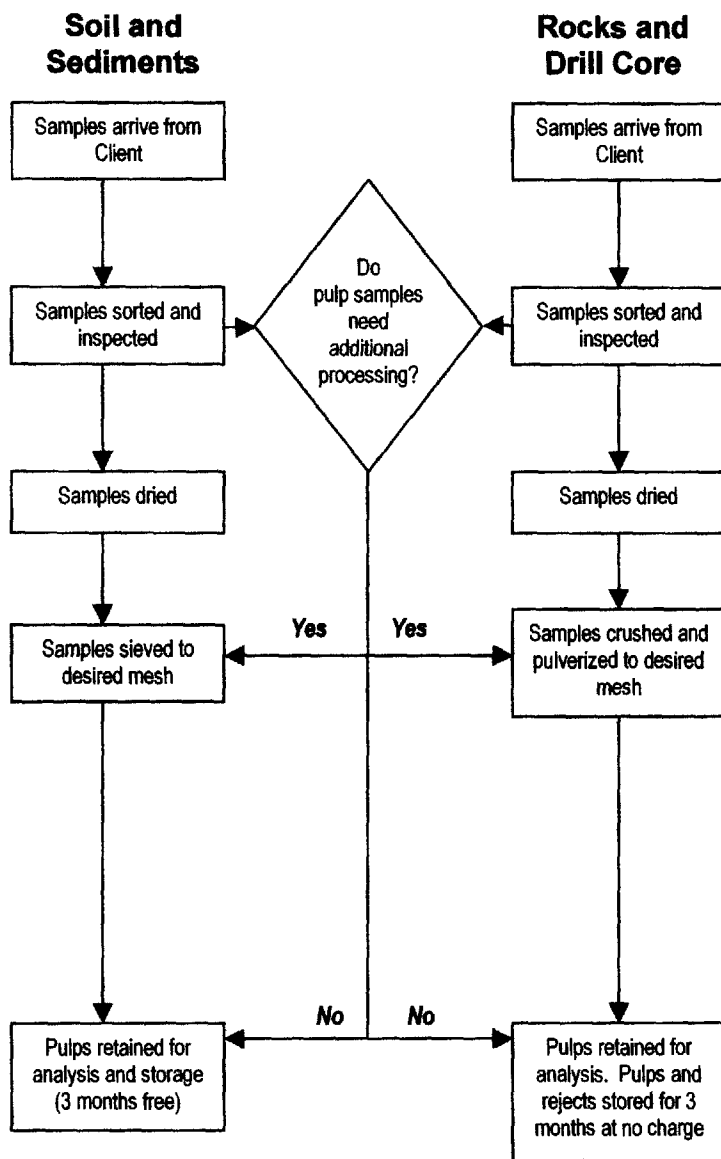
A series of USGS-geochemical standards are used as controls. This digestion is near total for base metals however will only be partial for silicates and oxides.

Code 1E1 Elements and Detection Limits (ppm)

Element	Detection Limit	Upper Limit	Element	Detection Limit	Upper Limit	Element	Detection Limit	Upper Limit
Ag*	0.2	100	Cu	1	10,000	S*	100	
Al*	0.01%		Fe*	0.01%		Sb*	10	
As*	10		K*	0.01%		Sc*	1	
Ba*	1		Mg*	0.01%		Sn*	10	
Be*	1		Mn*	2	10,000	Ti*	0.01%	
Bi	10		Mo*	2	10,000	V*	1	
Ca*	0.01%		Na*	0.01%		W*	10	
Cd	0.5	2,000	Ni*	1	10,000	Y*	1	
Co*	1		P*	0.001%		Zn*	1	10,000
Cr*	2		Pb*	2	5,000	Zr*	1	

Notes: * Element may only be partially extracted.
Assays are recommended for values which exceed the upper limits.

General Sample Preparation Methods



Comments

Receiving: Samples arrive via courier, post or by client drop-off; shipment inspected for completeness.

Sorting and Inspection: Samples sorted and inspected for quality of use (quantity and condition). Rock and Drill Core samples inspected for mineralisation (colour and % sulphides, metal oxides or carbonates). Pulp samples inspected for homogeneity and fineness. Coarse pulps are screened or pulverized after getting client's approval.

Drying: Wet or damp samples are dried at 60°C (40°C if specified by the client).

Sieving: Soil and sediment sieved to -80 mesh ASTM (-177 microns) unless client specifies otherwise. Sieve cleaned by brush and compressed air between samples. Reference material G-1 (pulp made of granite blank) is carried as first sample in sequence (sieve>weigh>digest>analyse) to monitor background noise.

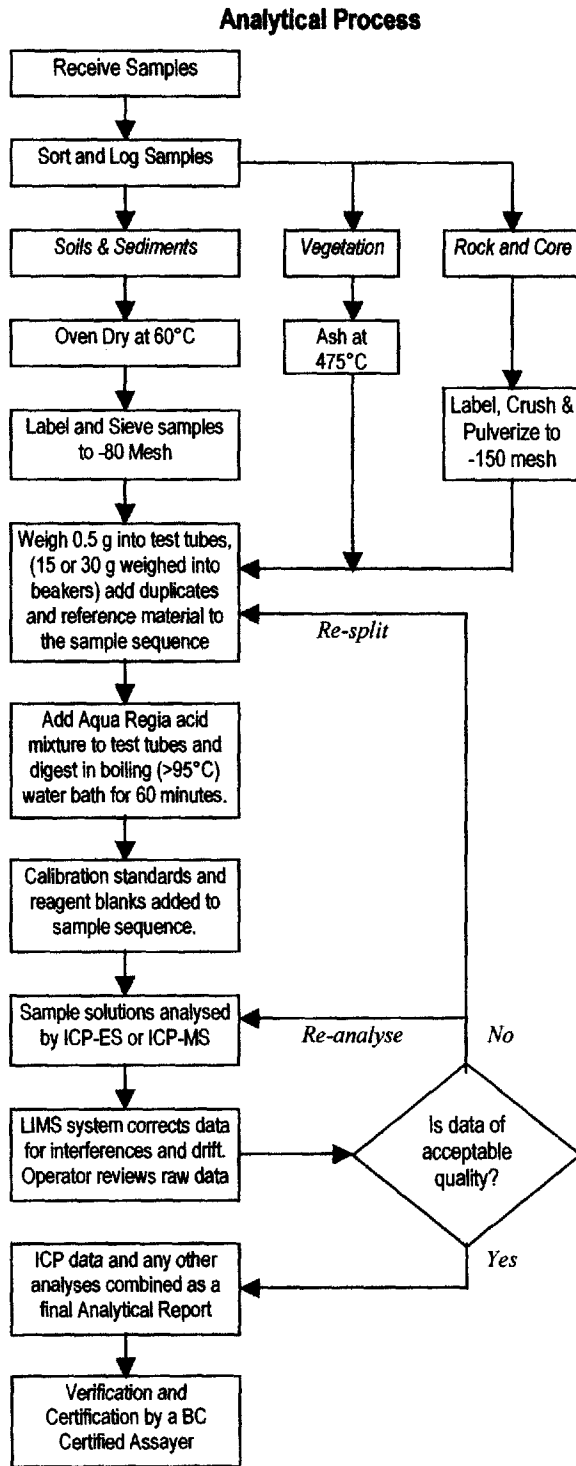
Crushing and Pulverizing: Rock and Drill Core crushed to 70% passing 10 mesh (2 mm), homogenized, riffle split (250 g subsample) and pulverized to 95% passing 150 mesh (100 microns). Crusher and pulverizer cleaned by brush and compressed air between routine samples. Silica wash scours equipment after high-grade samples, between changes in rock colour and at end of each file. Silica is crushed and pulverized as first sample in sequence and carried through to analysis to monitor background noise.

Compositing: Equal weights of crushed, pulverized or sieved material from 2 or more samples are combined and pulverized for 60+ seconds to produce a homogeneous mixture.

Storage: Pulp samples (up to 100g for soils or sediments and up to 250 g for rock and drill core) are archived for 3 months at no cost. Soil and sediment rejects are discarded immediately. Rock and drill core rejects are stored for 3 months at no charge. Client may request additional storage, return or disposal of pulps and rejects after initial free-storage period.



METHODS AND SPECIFICATIONS FOR ANALYTICAL PACKAGE GROUP 1D & 1DX – ICP & ICP-MS ANALYSIS – AQUA REGIA



Comments

Sample Preparation

All samples are dried at 60°C. Soil and sediment are sieved to -80 mesh (-177 µm). Moss-mats are disaggregated then sieved to yield -80 mesh sediment. Vegetation is pulverized or ashed (475°C). Rock and drill core is jaw crushed to 70% passing 10 mesh (2 mm), a 250 g riffle split is then pulverized to 95% passing 150 mesh (100 µm) in a mild-steel ring-and-puck mill. Pulp splits of 0.5 g are weighed into test tubes, 15 and 30 g splits are weighed into beakers.

Sample Digestion

A modified Aqua Regia solution of equal parts concentrated ACS grade HCl and HNO₃ and de-mineralised H₂O is added to each sample to leach for one hour in a hot water bath (>95°C). After cooling the solution is made up to final volume with 5% HCl. Sample weight to solution volume is 1 g per 20 mL.

Sample Analysis

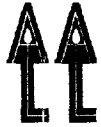
Group 1D: solutions aspirated into a Jarrel Ash AtomComp 800 or 975 ICP or Spectro Ciros Vision emission spectrometer are analysed for 30 elements: Ag, Al, As, Au, B, Ba, Bi, Ca, Cd, Co, Cr, Cu, Fe, K, La, Mg, Mn, Mo, Na, Ni, P, Pb, Sb, Sr, Th, Ti, U, V, W, Zn.

Group 1DX: solutions aspirated into a Perkin Elmer Elan 6000/9000 ICP mass spectrometer are analysed for 36 elements: Ag, Al, As, Au, B, Ba, Bi, Ca, Cd, Co, Cr, Cu, Fe, Ga, Hg, K, La, Mg, Mn, Mo, Na, Ni, P, Pb, S, Sb, Sc, Se, Tl, Sr, Th, Ti, U, V, W, Zn.

Quality Control and Data Verification

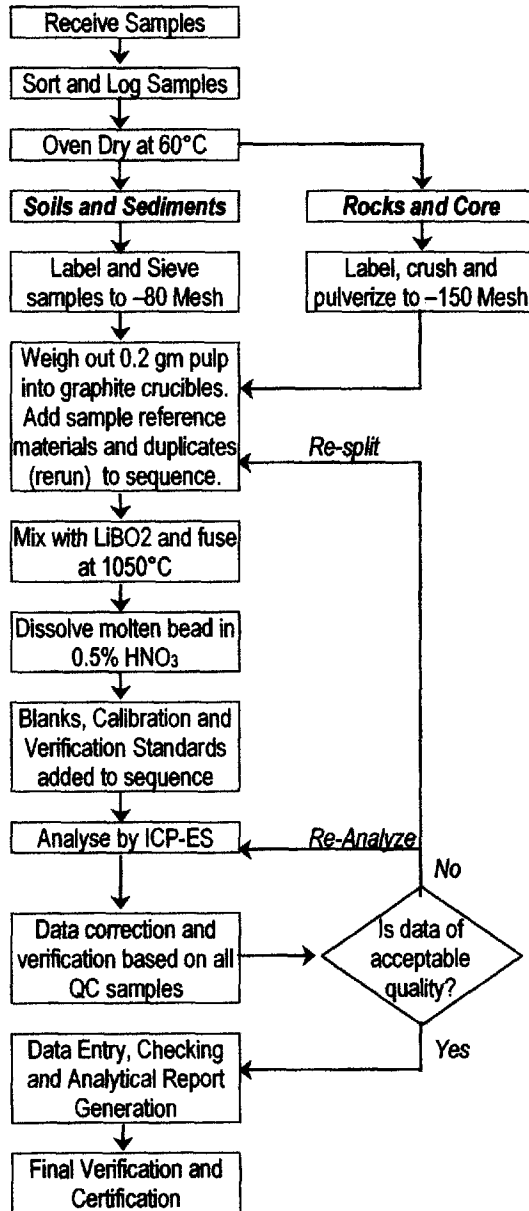
An Analytical Batch (1 page) comprises 33 samples. QA/QC protocol incorporates a sample-prep blank (SI or G-1) carried through all stages of preparation and analysis as the first sample, a pulp duplicate to monitor analytical precision, a -10 mesh rejects duplicate to monitor sub-sampling variation (drill core only), two reagent blanks to measure background and aliquots of in-house Standard Reference Materials like STD DS6 to monitor accuracy.

Raw and final data undergo a final verification by a British Columbia Certified Assayer who signs the Analytical Report before it is released to the client. Chief Assayer is Clarence Leong, other certified assayers are Leo Arciaga, Marcus Lau, Ken Kwok and Jacky Wang.



METHODS AND SPECIFICATIONS FOR ANALYTICAL PACKAGE GROUP 4A: WHOLE ROCK ANALYSIS BY ICP

Analytical Process



Comments

Sample Preparation

Soil or sediment is dried (60°C) and sieved to -80 mesh (-177 µm). Vegetation is dried (60°C) and pulverized or ashed (475°C). Moss-mat is dried (60°C), pounded and sieved to yield -80 mesh sediment. Rock and drill core is jaw crushed to 70% passing 10 mesh (2 mm), a 250 g aliquot is riffle split and pulverized to 95% passing 150 mesh (100 µm) in a mild-steel ring-and-puck mill. A 0.2 g aliquot is weighed into a graphite crucible and mixed with 1.5 g of LiBO₂ flux. QA/QC protocol includes inserting a duplicate of pulp to measure analytical precision, a coarse (10 mesh) rejects duplicate to measure method precision (drill core samples only), two analytical blanks to measure background and aliquots of in-house reference material SO-18 and CSB to measure accuracy in each analytical batch of 34 samples. STD SO-18 was certified in-house against Certified Reference Materials including CANMET SY-4 and USGS AGV-2, BCR-2, GSP-2 and W-2.

Sample Digestion

Crucibles are placed in an oven and heated to 1050°C for 15 minutes. The molten sample is dissolved in 5% HNO₃ (ACS grade nitric acid diluted in demineralised water). Calibration standards and reagent blanks are added to the sample sequence.

Sample Analysis

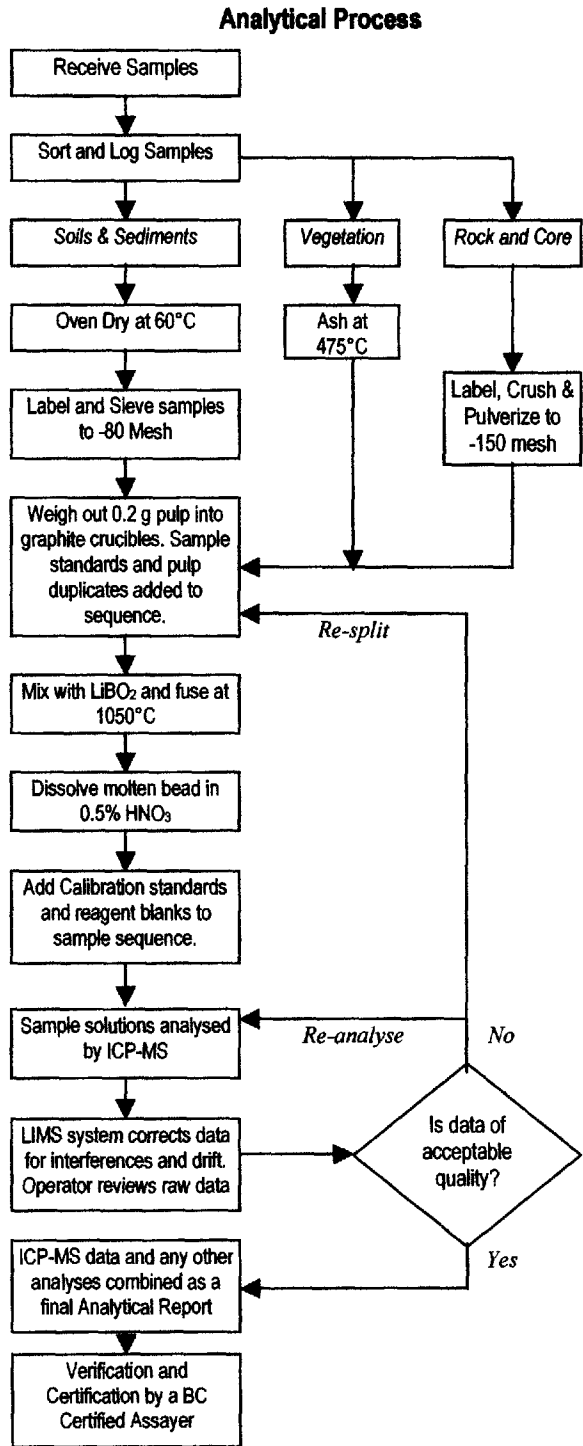
Sample solutions are aspirated into an ICP emission spectrograph (Jarrel Ash AtomComp Model 975 / Spectro Ciros Vision) for the determination of the basic package consisting of the following 18 major oxides and elements: SiO₂, Al₂O₃, Fe₂O₃, CaO, MgO, Na₂O, K₂O, MnO, TiO₂, P₂O₅, Cr₂O₃, Ba, Nb, Ni, Sr, Sc, Y and Zr. The extended package also includes: Ce, Co, Cu, Ta and Zn. Loss on ignition (LOI) is determined for both packages by igniting a 1 g sample split at 950°C for 90 minutes then measuring the weight loss. Total Carbon and Sulphur are determined by the Leco method (Group 2A).

Data Evaluation

Raw and final data from the ICP-ES undergoes a final verification by a British Columbia Certified Assayer who must sign the analytical report before release to the client. Chief assayer is Clarence Leong, other certified assayers are Marcus Lau, Ken Kwok, Leo Arciaga and Jacky Wang.



METHODS AND SPECIFICATIONS FOR ANALYTICAL PACKAGE GROUP 4B - WHOLE ROCK TRACE ELEMENTS BY ICP-MS



Comments

Sample Preparation

All samples are dried at 60°C. Soil and sediment are sieved to -80 mesh (-177 µm). Moss-mats are disaggregated then sieved to yield -80 mesh sediment. Vegetation is pulverized or ashed (475°C). Rock and drill core is jaw crushed to 70% passing 10 mesh (2 mm), a 250 g riffle split is then pulverized to 95% passing 150 mesh (100 µm) in a mild-steel ring-and-puck mill.

Sample Digestion

A 0.2 g samples aliquot is weighed into a graphite crucible and mixed with 1.5 g of LiBO₂ flux. The flux/sample charge is heated in a muffle furnace for 15 minutes at 1050°C. The molten mixture is removed and immediately poured into 100 mL of 5% HNO₃ (ACS grade nitric acid in de-mineralised water). The solution is shaken for 2 hours then an aliquot is poured into a polypropylene test tube. Calibration standards, verification standards and reagent blanks are added to the sample sequence.

Sample Analysis

Sample solutions are aspirated into an ICP mass spectrometer (Perkin-Elmer Elan 6000 or 9000) for the determination of the basic package consisting of the following 34 elements: Ba, Co, Cs, Ga, Hf, Nb, Rb, Sn, Sr, Ta, Th, Ti, U, V, W, Y, Zr, La, Ce, Pr, Nd, Sm, Eu, Gd, Tb, Dy, Ho, Er, Tm, Yb and Lu. A second sample split of 0.5 g is digested in Aqua Regia and analysed by ICP-MS (see Group 1DX) to determine: Au, Ag, As, Bi, Cd, Cu, Hg, Mo, Ni, Pb, Sb, Se, Tl and Zn.

Quality Control and Data Verification

An Analytical Batch (1 page) comprises 34 samples. QA/QC protocol incorporates a sample-prep blank (SI or G-1) carried through all stages of preparation and analysis as the first sample, a pulp duplicate to monitor analytical precision, a -10 mesh rejects duplicate to monitor sub-sampling variation (drill core only), two reagent blanks to measure background and aliquots of in-house Standard Reference Materials like STD SO-18 to monitor accuracy. STD SO-18 was certified in-house against Certified Reference Materials including CANMET SY-4 and USGS AGV-2, G-2, BCR-2 and W-2.

Raw and final data undergo a final verification by a British Columbia Certified Assayer who signs the Analytical Report before it is released to the client. Chief Assayer is Clarence Leong, other certified assayers are Leo Arciaga Marcus Lau, Jacky Wang and Ken Kwok.

ANNEXE 2

CERTIFICATS D'ANALYSES

*** Certificat d'analyses ***

Laboratoire Expert Inc.

127, Boulevard Industriel
Rouyn-Noranda, Québec
Canada, J9X 6P2
Téléphone : (819) 762-7100, Télécopieur : (819) 762-7510

Date : 2006/10/10

Page : 1 de 2

Client : Matamec Exploration	
Destinataire : Aline Leclerc 1200, 3ème Avenue Val d'Or Québec J9P 1V1 Téléphone : (819) 825-2452 Télécopieur: (819) 825-1366	Dossier : 14832 Votre no. commande : Projet : LA GRANDE EST Nombre total d'échantillons : 25

Identification	Au FA-GEO ppb 5	Au-Dup FA-GEO ppb 5	Au FA-GRAV g/t 0.03
267031	<5	<5	
267032	<5		
267033	<5		
267035	<5		
267036	<5		
267038	1764		1.71
267039	6		
267040	259		
267041	<5		
267042	8		
267046	6		
267048	14		
267108	<5	<5	
267109	<5		
267110	10		
267112	<5		
267113	<5		
267120	<5		
267122	<5		
267123	12		


Claude Leclerc, Directeur-Adjoint

*** Certificat d'analyses ***

Laboratoire Expert Inc.

127, Boulevard Industriel
Rouyn-Noranda, Québec
Canada, J9X 6P2
Téléphone : (819) 762-7100, Télécopieur : (819) 762-7510

Date : 2006/10/10

Page : 2 de 2

Client : Matamec Exploration	
Destinataire : Aline Leclerc 1200, 3ème Avenue Val d'Or Québec J9P 1V1 Téléphone : (819) 825-2452 Télécopieur: (819) 825-1366	Dossier : 14832 Votre no. commande : Projet : LA GRANDE EST Nombre total d'échantillons : 25

<u>Identification</u>	Au FA-GEO ppb 5	Au-Dup FA-GEO ppb 5	Au FA-GRAV g/t 0.03
267124	152		
267125	17		
267127	9		
267129	45		
267130	1799		1.85

*** Certificat d'analyses ***

Laboratoire Expert Inc.

127, Boulevard Industriel
Rouyn-Noranda, Québec
Canada, J9X 6P2
Téléphone : (819) 762-7100, Télécopieur : (819) 762-7510

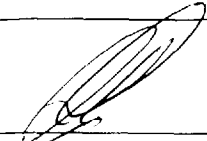
Date : 2006/07/19

Page : 1 de 5

Client : Matamec Exploration	
Destinataire : Aline Leclerc 1200, 3ème Avenue Val d'Or Québec J9P 1V1 Téléphone : (819) 825-2452 Télécopieur: (819) 825-1366	Dossier : 13319 Votre no. commande : Projet : Nombre total d'échantillons : 97

Identification	Au FA-GEO ppb 5	Au-Dup FA-GEO ppb 5	Au FA-GRAV g/t 0.03
	----- LNR	----- LNR	
267004			
93602	69		
93606	<5		
93621	639		
93627	193		
93630	62		
93636	69		
93641	9		
93650	6		
93651	5		
93653	8		
93670	6		
267011	27	28	
267012	13		
267013	<5		
93680	<5		
93681	<5		
93683	6		
267024	16		
267025	<5		

LNR Échantillon non reçu


Joe Landers, Directeur

Laboratoire Expert Inc.

127, Boulevard Industriel
 Rouyn-Noranda, Québec
 Canada, J9X 6P2
 Téléphone : (819) 762-7100, Télécopieur : (819) 762-7510

Client : Matamec Exploration	
Destinataire : Aline Leclerc 1200, 3ème Avenue Val d'Or Québec J9P 1V1	Dossier : 13319 Votre no. commande : Projet : Nombre total d'échantillons : 97
	Téléphone : (819) 825-2452 Télécopieur: (819) 825-1366

<u>Identification</u>	Au FA-GEO ppb 5	Au-Dup FA-GEO ppb 5	Au FA-GRAV g/t 0.03
93685	<5		
93690	6		
93693	12		
93694	<5		
262604	5	5	
262605	9		
262606	10		
262609	<5		
262610	<5		
262611	48		
262612	<5		
267026	<5		
93724	<5		
93725	47		
93726	<5		
93727	36		
93728	22	22	
93732	27		
93733	11		
93734	19		

*** Certificat d'analyses ***

Date : 2006/07/19

Page : 3 de 5

Laboratoire Expert Inc.

127, Boulevard Industriel
Rouyn-Noranda, Québec
Canada, J9X 8P2

Téléphone : (819) 762-7100, Télécopieur : (819) 762-7510

Client : Matamec Exploration	
Destinataire : Aline Leclerc 1200, 3 ^{ème} Avenue Val d'Or Québec J9P 1V1 Téléphone : (819) 825-2452 Télécopieur: (819) 825-1366	Dossier : 13319 Votre no. commande : Projet : Nombre total d'échantillons : 97

<u>Identification</u>	Au FA-GEO ppb 5	Au-Dup FA-GEO ppb 5	Au FA-GRAV g/t 0.03
93754	<5		
93757	<5		
93758	<5		
262614	<5		
262619	12		
262624	6		
262635	10		
262637	45		
262643	<5	7	
262644	<5		
262645	<5		
262646	6		
262649	<5		
262650	7		
93702	<5		
93703	10		
93704	<5		
93712	<5		
93713	<5		
93720	<5		

***** Certificat d'analyses *****

Laboratoire Expert Inc.

127, Boulevard Industriel
 Rouyn-Noranda, Québec
 Canada, J9X 6P2
 Téléphone : (819) 762-7100, Télécopieur : (819) 762-7510

Date : 2006/07/19

Page : 4 de 5

Client : Matamec Exploration		
Destinataire : Aline Leclerc		Dossier : 13319
1200, 3ème Avenue Val d'Or Québec J9P 1V1		Votre no. commande :
Téléphone : (819) 825-2452 Télécopieur: (819) 825-1366		Projet :
		Nombre total d'échantillons : 97

Identification	Au FA-GEO ppb 5	Au-Dup FA-GEO ppb 5	Au FA-GRAV g/t 0.03
267009	<5	<5	
267005	22		
267007	22		
267008	24		
267014	<5		
267016	<5		
267020	<5		
267021	<5		
267027	<5		
93765	<5		
93767	<5		
93774	<5		
93777	6	9	
93778	13		
93779	<5		
93780	<5		
93784	5		
93785	<5		
93786	6		
93789	<5		

***** Certificat d'analyses *****

Laboratoire Expert Inc.

127, Boulevard Industriel
 Rouyn-Noranda, Québec
 Canada, J9X 6P2
 Téléphone : (819) 762-7100, Télécopieur : (819) 762-7510

Date : 2006/07/19

Page : 5 de 5

Client : Matamec Exploration	
Destinataire : Aline Leclerc 1200, 3ème Avenue Val d'Or Québec J9P 1V1	Dossier : 13319 Votre no. commande : Projet :
Téléphone : (819) 825-2452 Télécopieur: (819) 825-1366	Nombre total d'échantillons : 97

Identification	Au FA-GEO ppb 5	Au-Dup FA-GEO ppb 5	Au FA-GRAV g/t 0.03
267468	<5		
267470	<5		
267474	8		
267028	<5		
267065	884	901	
267066	1426		1.51
267072	79		
267103	<5		
267479	5		
267481	8		
267484	9		
267485	<5		
93696	<5		
93739	9		
93742	105		
93747	13		
93749	9	11	

*** Certificat d'analyses ***

Laboratoire Expert Inc.

127, Boulevard Industriel
Rouyn-Noranda, Québec
Canada, J9X 6P2
Téléphone : (819) 762-7100, Télécopieur : (819) 762-7510

Date : 2006/10/20

Page : 1 de 4

Client : Matamec Exploration	
Destinataire : Aline Leclerc 1200, 3ème Avenue Val d'Or Québec J9P 1V1 Téléphone : (819) 825-2452 Télécopieur : (819) 825-1366	Dossier : 15029 Votre no. commande : Projet : LA GRANDE EST Nombre total d'échantillons : 71

<u>Identification</u>	Au FA-GEO ppb 5	Au-Dup FA-GEO ppb 5	Au FA-GRAV g/t 0.03
01103	23	19	
01107	336		
01114	8		
01116	20		
01121	10		
01122	<5		
01123	9		
01127	16		
01128	<5		
01129	6		
01130	6		
01131	10		
01132	5	6	
01134	46		
01135	37		
01136	13		
267029	<5		
267030	<5		
267034	5		
267037	6		


Joe Landers, Directeur

***** Certificat d'analyses *****

Laboratoire Expert Inc.

127, Boulevard Industriel
Rouyn-Noranda, Québec
Canada, J9X 6P2
Téléphone : (819) 762-7100, Télécopieur : (819) 762-7510

Date : 2006/10/20

Page : 2 de 4

Client : Matamec Exploration	
Destinataire : Aline Leclerc 1200, 3ème Avenue Val d'Or Québec J9P 1V1	Dossier : 15029 Votre no. commande : Projet : LA GRANDE EST
Téléphone : (819) 825-2452 Télécopieur: (819) 825-1366	Nombre total d'échantillons : 71

Identification	Au FA-GEO ppb 5	Au-Dup FA-GEO ppb 5	Au FA-GRAV g/t 0.03
267043	21		
267044	<5		
267045	12		
267047	7		
267049	5	<5	
267050	17		
267104	9		
267105	13		
267106	5		
267107	<5		
267111	19		
267114	<5		
267115	6		
267116	6		
267117	105		
267118	6		
267119	<5	5	
267121	32		
267126	<5		
267128	<5		

Laboratoire Expert Inc.

127, Boulevard Industriel
 Rouyn-Noranda, Québec
 Canada, J9X 6P2
 Téléphone : (819) 762-7100, Télécopieur : (819) 762-7510

Client : Matamec Exploration			
Destinataire : Aline Leclerc		Dossier : 15029	
1200, 3ème Avenue Val d'Or Québec J9P 1V1		Votre no. commande :	
Téléphone : (819) 825-2452 Télécopieur: (819) 825-1366		Projet : LA GRANDE EST	
		Nombre total d'échantillons : 71	

Identification	Au FA-GEO ppb 5	Au-Dup FA-GEO ppb 5	Au FA-GRAV g/t 0.03
267131	5		
267132	5		
267135	8		
267136	<5		
267137	13		
267138	695		
267139	36		
267140	122		
267141	9	8	
267142	9		
267143	47		
267144	7		
267145	<5		
267146	<5		
267147	<5		
267148	<5		
267149	<5		
267150	20		
93803	<5		
93805	15		

Laboratoire Expert Inc.

127, Boulevard Industriel
 Rouyn-Noranda, Québec
 Canada, J9X 6P2
 Téléphone : (819) 762-7100, Télécopieur : (819) 762-7510

Date : 2006/10/20

Page : 4 de 4

Client : Matamec Exploration		
Destinataire : Aline Leclerc		Dossier : 15029
1200, 3ème Avenue Val d'Or Québec J9P 1V1		Votre no. commande :
Téléphone : (819) 825-2452 Télécopieur: (819) 825-1366		Projet : LA GRANDE EST
		Nombre total d'échantillons : 71

<u>Identification</u>	Au FA-GEO ppb 5	Au-Dup FA-GEO ppb 5	Au FA-GRAV g/t 0.03
93806	13	15	
93811	6		
93814	14		
93815	114		
93816	156		
93817	695		
93818	30		
93819	24		
93821	72		
93822	2673		2.71
93823	1191		1.10

Date: 28 août, 2006

Votre référence:

Notre référence: A06-2437 / Dossier 13319

Matamec Exploration
1200, 3ème Avenue
Val d'Or, QC
J9P 1V1

Attn: Aline Leclerc

Nombre d'échantillon: 96

Éléments
Scan

Méthode
ICP EOS 1E1


Joe Landers / Directeur

**Final Report
Activation Laboratories**

Analyte Symbol	Silver	Cadmium	Copper	Manganese	Molybdenum	Nickel	Lead	Zinc	Aluminum	Arsenic	Barium
Unit Symbol	Ag	Cd	Cu	Mn	Mo	Ni	Pb	Zn	Al	As	Ba
Detection Limit	Ag (0.2 - 100ppm)	Cd (0.5 - 2,000ppm)	Cu (1 - 10,000ppm)	Mn (2 - 100,000ppm)	Mo (2 - 10,000ppm)	Ni (1 - 10,000ppm)	Pb (2 - 5000ppm)	Zn (1 - 10,000ppm)	Al (0.01%)	As (>10ppm)	Ba (>1ppm)
Analysis Method	ppm	ppm	ppm	ppm	ppm	ppm	ppm	ppm	%	ppm	ppm
267004 NO SAMPLE	--	--	--	--	--	--	--	--	--	--	--
93602	< 0.2	< 0.5	18	149	10	10	< 2	6	0.08	65	54
93606	< 0.2	< 0.5	18	155	10	10	< 2	7	0.08	72	55
93621	< 0.2	< 0.5	15	3970	4	10	< 2	24	1.33	< 10	113
93627	0.6	< 0.5	68	184	15	11	< 2	9	0.26	915	14
93630	< 0.2	< 0.5	108	431	8	7	< 2	12	0.42	< 10	24
93636	0.3	< 0.5	62	303	11	61	9	159	0.4	59	30
93641	< 0.2	< 0.5	37	547	6	11	4	21	1.24	< 10	114
93650	< 0.2	< 0.5	40	929	9	31	< 2	43	1.01	< 10	90
93651	< 0.2	< 0.5	34	431	8	28	< 2	53	1.2	< 10	160
93653	< 0.2	< 0.5	27	555	7	18	4	44	1.01	12	119
93670	< 0.2	< 0.5	50	549	14	11	3	8	0.34	< 10	23
267011	< 0.2	< 0.5	64	169	3	11	7	8	0.09	< 10	24
267012	0.2	< 0.5	61	137	5	7	< 2	4	0.04	< 10	8
267013	< 0.2	< 0.5	206	1040	4	62	4	33	0.59	< 10	36
93680	0.4	1.1	66	788	10	41	5	478	0.21	< 10	13
93681	0.2	0.6	57	493	8	45	12	130	0.5	< 10	12
93683	0.4	< 0.5	6	54	20	6	16	11	0.13	< 10	48
267024	< 0.2	< 0.5	21	72	6	19	< 2	6	0.08	< 10	45
267025	< 0.2	< 0.5	5	46	18	5	2	2	< 0.01	< 10	8
93685	< 0.2	< 0.5	29	802	9	22	< 2	31	1.16	< 10	57
93690	0.5	< 0.5	508	577	54	61	< 2	29	1.16	< 10	9
93693	< 0.2	1.5	124	302	9	52	6	496	0.58	< 10	9
93694	< 0.2	< 0.5	236	992	4	36	< 2	26	0.28	< 10	10
262604	< 0.2	2.5	70	759	6	52	7	757	0.13	38	12
262605	< 0.2	< 0.5	89	6460	8	12	< 2	14	0.88	< 10	9
262606	< 0.2	< 0.5	18	945	10	32	5	53	0.21	182	12
262609	< 0.2	< 0.5	25	1680	6	73	< 2	36	1.81	20	91
262610	< 0.2	< 0.5	9	2570	9	18	3	32	1.35	< 10	39
262611	0.4	< 0.5	135	3660	5	48	2	14	0.8	< 10	14
262612	< 0.2	< 0.5	33	412	5	41	5	37	0.47	< 10	69
267026	< 0.2	< 0.5	24	388	9	12	< 2	27	0.48	< 10	79
93724	< 0.2	< 0.5	26	2540	4	42	< 2	12	0.85	< 10	39
93725	1.2	< 0.5	52	374	10	58	20	37	0.41	< 10	4
93726	< 0.2	< 0.5	6	75	4	6	< 2	3	0.02	< 10	6
93727	0.7	< 0.5	57	302	11	49	13	54	0.35	< 10	6
93728	0.6	< 0.5	48	378	10	58	9	52	0.42	< 10	2
93732	< 0.2	< 0.5	22	177	5	8	< 2	4	0.24	< 10	23
93733	0.6	< 0.5	194	274	6	20	3	12	0.23	< 10	16
93734	< 0.2	< 0.5	45	82	4	14	2	5	0.32	< 10	23
93754	< 0.2	< 0.5	121	1030	17	78	6	84	0.9	< 10	93
93757	0.2	< 0.5	62	301	18	35	< 2	15	0.18	< 10	28
93758	< 0.2	< 0.5	131	342	4	119	< 2	26	0.3	< 10	33
262614	< 0.2	< 0.5	174	1040	7	13	< 2	50	1.12	< 10	46
262619	1.3	< 0.5	2760	185	5	33	< 2	17	0.17	< 10	15
262624	< 0.2	< 0.5	269	124	10	37	4	9	0.27	< 10	25
262635	2.3	< 0.5	1340	112	20	19	8	8	0.06	< 10	15
262637	2.8	< 0.5	841	269	11	36	12	35	0.45	< 10	62
262643	0.4	< 0.5	46	866	8	77	11	106	0.79	< 10	45

**Final Report
Activation Laboratories**

Analyte Symbol	Silver	Cadmium	Copper	Manganese	Molybdenum	Nickel	Lead	Zinc	Aluminum	Arsenic	Barium
Unit Symbol	Ag	Cd	Cu	Mn	Mo	Ni	Pb	Zn	Al	As	Ba
Detection Limit	Ag (0.2 - 100ppm)	Cd (0.5 - 2,000ppm)	Cu (1 - 10,000ppm)	Mn (2 - 100,000ppm)	Mo (2 - 10,000ppm)	Ni (1 - 10,000ppm)	Pb (2 - 5000ppm)	Zn (1 - 10,000ppm)	Al (0.01%)	As (>10ppm)	Ba (>1ppm)
Analysis Method	ppm	ppm	ppm	ppm	ppm	ppm	ppm	ppm	%	ppm	ppm
267004 NO SAMPLE	--	--	--	--	--	--	--	--	--	--	--
262644	0.6	< 0.5	94	192	4	29	3	14	0.14	< 10	7
262645	0.2	< 0.5	48	146	15	13	2	8	0.03	< 10	3
262646	< 0.2	< 0.5	77	103	18	11	6	4	0.09	< 10	13
262649	< 0.2	< 0.5	12	516	17	8	< 2	3	0.02	< 10	3
262650	< 0.2	< 0.5	109	299	8	13	< 2	10	0.24	< 10	11
93702	< 0.2	1	92	215	10	54	7	306	0.28	< 10	5
93703	0.4	< 0.5	155	118	23	127	3	15	0.18	< 10	6
93704	< 0.2	< 0.5	7	30	12	9	< 2	5	0.08	< 10	7
93712	< 0.2	< 0.5	44	1120	10	124	3	80	0.87	< 10	20
93713	< 0.2	< 0.5	177	748	3	36	< 2	36	0.79	< 10	12
93720	0.3	< 0.5	127	544	11	101	14	17	0.97	< 10	2
267009	0.3	< 0.5	224	472	6	114	7	26	0.76	< 10	2
267005	0.8	1.1	25	656	17	24	33	103	0.25	148	21
267007	0.3	< 0.5	28	443	13	37	15	34	0.93	12	50
267008	< 0.2	< 0.5	126	204	19	14	< 2	9	0.29	< 10	8
267014	< 0.2	< 0.5	45	407	4	17	5	40	0.5	< 10	30
267016	0.2	2.2	62	350	15	77	5	570	0.56	< 10	32
267020	< 0.2	< 0.5	77	345	16	84	15	60	0.62	< 10	36
267021	< 0.2	< 0.5	74	881	6	48	< 2	35	0.7	10	18
267027	0.5	< 0.5	29	56	29	49	72	2	0.05	29	38
93765	< 0.2	< 0.5	68	57	17	7	< 2	5	0.1	< 10	8
93767	< 0.2	< 0.5	92	444	5	10	< 2	67	0.4	< 10	32
93774	0.2	1.3	85	334	9	41	9	491	0.34	< 10	15
93777	< 0.2	< 0.5	94	209	5	16	< 2	18	0.2	< 10	11
93778	< 0.2	< 0.5	35	745	9	46	2	214	1.15	< 10	50
93779	0.2	< 0.5	63	208	10	37	6	30	0.55	< 10	15
93780	0.3	1.1	62	338	15	36	4	349	0.39	< 10	4
93784	< 0.2	< 0.5	103	1940	5	32	< 2	41	1.11	< 10	18
93785	< 0.2	< 0.5	5	88	6	3	5	7	0.09	< 10	18
93786	0.7	0.6	150	291	9	46	13	193	0.33	< 10	21
93789	0.2	< 0.5	202	208	3	41	< 2	10	0.1	< 10	8
267468	< 0.2	< 0.5	42	554	12	87	< 2	65	1.35	< 10	349
267470	< 0.2	< 0.5	28	248	17	24	< 2	33	0.69	< 10	160
267474	< 0.2	< 0.5	103	280	10	12	< 2	12	0.45	< 10	14
267028	< 0.2	< 0.5	43	1150	3	49	< 2	91	1.65	< 10	7
267065	< 0.2	< 0.5	18	293	8	10	< 2	4	0.09	17	28
267066	0.3	< 0.5	142	236	4	14	5	49	0.47	< 10	53
267072	< 0.2	< 0.5	166	1140	4	69	4	74	1.78	< 10	94
267103	< 0.2	< 0.5	60	596	8	27	< 2	45	0.87	< 10	401
267479	< 0.2	< 0.5	68	612	4	126	3	65	1.51	< 10	367
267481	< 0.2	< 0.5	119	631	3	60	< 2	49	0.5	31	22
267484	< 0.2	< 0.5	45	469	4	43	< 2	50	0.33	68	33
267485	< 0.2	< 0.5	70	1310	3	21	< 2	49	0.81	< 10	14
93696	< 0.2	< 0.5	14	275	4	15	< 2	36	0.66	< 10	28
93739	< 0.2	< 0.5	251	460	3	31	< 2	24	0.6	< 10	4
93742	< 0.2	< 0.5	28	4010	4	27	< 2	28	0.83	< 10	44
93747	< 0.2	1.3	41	765	9	8	105	451	0.64	56	46
93749	< 0.2	< 0.5	11	1070	15	14	48	158	0.31	< 10	22

**Final Report
Activation Laboratories**

Analyte Symbol	Beryllium	Bismuth	Calcium	Cobalt	Chromium	Iron	Potassium	Magnesium	Sodium	Phosphorus	Antimony	Scandium	Tin	Strontium
Unit Symbol	Be	Bi	Ca	Co	Cr	Fe	K	Mg	Na	P	Sb	Sc	Sn	Sr
Detection Limit	Be (>1ppm)	Bi (>10ppm)	Ca (>0.01%)	Co (>1-10,000ppm)	Cr (>2ppm)	Fe (0.01%)	K (>0.01%)	Mg (0.01%)	Na (>0.01%)	P (>0.001%)	Sb (>10ppm)	Sc (>1ppm)	Sn (>10ppm)	Sr (>1ppm)
Analysis Method	ppm	ppm	%	ppm	ppm	%	%	%	%	%	ppm	ppm	ppm	ppm
267004 NO SAMPLE	-	-	-	-	-	-	-	-	-	-	-	-	-	-
93602	< 1	< 10	0.37	3	115	10.7	0.05	0.07	< 0.01	0.104	< 10	< 1	< 10	45
93606	< 1	< 10	0.38	3	119	10.8	0.06	0.07	< 0.01	0.104	< 10	< 1	< 10	46
93621	< 1	< 10	2.52	3	78	9.23	0.46	0.67	0.41	0.023	< 10	6	< 10	23
93627	< 1	< 10	1.16	5	84	10.4	0.05	0.14	0.06	0.119	< 10	< 1	< 10	41
93630	< 1	< 10	2.55	2	50	10.6	0.09	0.25	0.12	0.073	< 10	< 1	< 10	212
93636	1	< 10	0.64	22	207	4.5	0.36	0.36	0.06	0.058	< 10	11	< 10	18
93641	1	< 10	0.43	4	86	11.2	0.51	0.45	0.02	0.063	< 10	5	< 10	29
93650	1	< 10	0.84	15	137	5	0.48	0.53	0.14	0.038	< 10	7	< 10	26
93651	1	< 10	0.4	14	147	4.7	1.17	0.67	0.19	0.038	< 10	7	< 10	36
93653	1	< 10	0.18	9	99	7.54	1.13	0.52	0.04	0.048	< 10	4	< 10	19
93670	< 1	< 10	0.85	5	167	3.97	0.14	0.17	0.09	0.014	< 10	< 1	< 10	27
267011	< 1	< 10	1.05	4	37	7.54	0.05	0.12	0.03	0.172	< 10	< 1	< 10	181
267012	< 1	< 10	0.96	3	53	5.62	0.02	0.09	0.01	0.155	< 10	< 1	< 10	131
267013	3	< 10	1.69	38	118	5.74	0.29	0.48	0.06	0.035	< 10	9	< 10	25
93680	1	< 10	0.55	19	148	6.18	0.07	0.07	0.05	0.049	< 10	4	< 10	12
93681	1	< 10	1.47	15	132	7.05	0.22	0.35	0.08	0.043	< 10	10	< 10	20
93683	1	< 10	0.13	< 1	194	1.05	0.13	0.03	0.06	0.022	< 10	5	< 10	7
267024	< 1	< 10	0.37	6	94	17.7	0.05	0.06	< 0.01	0.108	< 10	< 1	< 10	36
267025	< 1	< 10	0.07	< 1	212	0.74	< 0.01	0.04	< 0.01	0.004	< 10	< 1	< 10	2
93685	1	< 10	1.06	9	120	8.76	0.95	0.43	0.1	0.05	< 10	4	< 10	21
93690	1	< 10	2.76	25	92	11.3	0.16	0.51	0.29	0.213	< 10	3	< 10	31
93693	1	< 10	1.31	29	109	4.91	0.07	0.1	0.07	0.032	< 10	6	< 10	11
93694	2	< 10	2.31	43	54	5.69	0.05	0.18	0.13	0.029	< 10	11	< 10	24
262604	< 1	< 10	0.1	22	56	23.1	0.07	0.13	0.03	0.01	10	2	< 10	5
262605	< 1	< 10	0.84	11	87	7.55	0.07	0.15	0.03	0.038	< 10	3	< 10	7
262606	< 1	< 10	0.05	23	117	14.2	0.09	0.2	< 0.01	0.009	< 10	2	< 10	1
262609	< 1	< 10	2.86	26	138	5.81	0.38	0.7	0.33	0.058	< 10	9	< 10	41
262610	< 1	< 10	2.22	7	117	8.26	0.15	0.53	0.34	0.04	< 10	5	< 10	18
262611	< 1	< 10	1.17	25	51	17.2	0.05	0.25	0.15	0.026	< 10	2	< 10	10
262612	1	< 10	0.81	21	143	3.66	0.59	0.59	0.09	0.119	< 10	4	< 10	35
267026	< 1	< 10	0.22	6	127	1.74	0.15	0.5	0.12	0.021	< 10	4	< 10	24
93724	< 1	< 10	2.04	12	95	8.13	0.12	0.4	0.24	0.043	< 10	4	< 10	33
93725	< 1	12	0.17	12	132	10.8	0.4	0.44	0.09	0.047	< 10	11	< 10	11
93726	< 1	< 10	0.12	1	67	17	< 0.01	0.03	< 0.01	0.031	< 10	< 1	< 10	4
93727	< 1	< 10	0.08	19	142	7.96	0.31	0.41	0.06	0.031	< 10	7	< 10	7
93728	< 1	< 10	0.15	16	138	11	0.44	0.46	0.06	0.051	< 10	11	< 10	9
93732	2	< 10	1.29	1	70	6.29	0.06	0.14	0.08	0.138	< 10	< 1	< 10	32
93733	< 1	< 10	1.5	8	65	10.3	0.06	0.19	0.07	0.15	< 10	< 1	< 10	134
93734	< 1	< 10	1.53	4	53	6.94	0.1	0.18	0.11	0.128	< 10	< 1	< 10	73
93754	2	< 10	1.55	37	153	4.92	0.22	0.77	0.16	0.028	< 10	14	< 10	4
93757	< 1	< 10	1.37	10	189	6.91	0.18	0.24	0.04	0.18	< 10	2	< 10	22
93758	2	< 10	0.84	47	129	4.79	0.14	0.39	0.11	0.019	< 10	8	< 10	4
262614	< 1	< 10	1.48	22	67	4.41	0.19	0.68	0.16	0.029	< 10	11	< 10	13
262619	< 1	< 10	0.62	22	67	14.3	0.03	0.12	0.04	0.116	< 10	< 1	< 10	14
262624	< 1	< 10	0.24	17	131	5.85	0.08	0.15	0.02	0.032	< 10	1	< 10	4
262635	< 1	< 10	0.22	30	266	3.72	0.03	0.05	0.01	0.024	< 10	< 1	< 10	7
262637	< 1	18	0.32	11	209	2.6	0.58	0.46	0.06	0.033	< 10	2	< 10	58
262643	2	< 10	0.69	15	330	4.25	0.7	0.72	0.05	0.064	< 10	8	< 10	41

Final Report
Activation Laboratories

Analyte Symbol	Beryllium	Bismuth	Calcium	Cobalt	Chromium	Iron	Potassium	Magnesium	Sodium	Phosphorus	Antimony	Scandium	Tin	Strontium
Unit Symbol	Be	Bi	Ca	Co	Cr	Fe	K	Mg	Na	P	Sb	Sc	Sn	Sr
Detection Limit	Be (>1ppm)	Bi (>10ppm)	Ca (>0.01%)	Co (>1-10,000ppm)	Cr (>2ppm)	Fe (0.01%)	K (>0.01%)	Mg (0.01%)	Na (>0.01%)	P (>0.001%)	Sb (>10ppm)	Sc (>1ppm)	Sn (>10ppm)	Sr (>1ppm)
Analysis Method	ppm	ppm	%	ppm	ppm	%	%	%	%	%	ppm	ppm	ppm	ppm
267004 NO SAMPLE	--	--	--	--	--	--	--	--	--	--	--	--	--	--
262644	1	< 10	0.42	38	62	11.8	0.05	0.05	0.02	0.05	< 10	3	< 10	15
262645	< 1	< 10	0.2	5	173	3.58	< 0.01	0.02	< 0.01	0.004	< 10	< 1	< 10	8
262646	< 1	< 10	0.57	4	204	3.16	0.02	0.03	0.01	0.013	< 10	< 1	< 10	69
262649	< 1	< 10	0.16	1	229	2.49	< 0.01	0.01	< 0.01	0.003	< 10	< 1	< 10	4
262650	< 1	< 10	1.92	4	106	4.38	0.03	0.11	0.04	0.305	< 10	< 1	< 10	693
93702	1	< 10	0.91	27	136	4.7	0.06	0.02	0.06	0.039	< 10	4	< 10	13
93703	< 1	< 10	0.37	34	212	12.9	0.09	0.17	0.02	0.087	< 10	< 1	< 10	16
93704	< 1	< 10	0.52	1	100	21.7	0.03	0.01	0.02	0.171	< 10	< 1	< 10	57
93712	< 1	< 10	0.89	25	251	5.83	0.49	1.18	0.08	0.068	< 10	7	< 10	18
93713	1	< 10	2.06	21	132	6	0.07	0.74	0.2	0.025	< 10	16	< 10	5
93720	< 1	< 10	0.16	74	116	18.3	0.09	0.59	< 0.01	0.022	< 10	7	< 10	2
267009	< 1	< 10	0.1	104	65	17.7	0.06	0.45	< 0.01	0.019	< 10	4	< 10	1
267005	< 1	< 10	0.27	8	183	4.96	0.14	0.13	< 0.01	0.025	< 10	2	< 10	16
267007	1	< 10	0.39	8	164	6.09	0.44	0.42	0.09	0.029	< 10	8	< 10	34
267008	< 1	< 10	1.08	4	161	7.2	0.05	0.17	0.07	0.087	< 10	< 1	< 10	14
267014	1	< 10	1.02	11	104	2.63	0.08	0.58	0.06	0.115	< 10	3	< 10	36
267016	1	< 10	0.6	30	182	4.63	0.27	0.27	0.1	0.057	< 10	10	< 10	27
267020	1	< 10	0.62	24	277	3.37	0.6	0.89	0.06	0.096	< 10	4	< 10	14
267021	2	< 10	1.47	42	79	4.34	0.14	0.78	0.13	0.03	< 10	14	< 10	12
267027	< 1	< 10	0.06	20	260	1.85	0.07	0.03	0.04	0.012	< 10	< 1	< 10	14
93765	< 1	< 10	0.06	2	185	0.82	0.03	0.05	0.08	0.013	< 10	< 1	< 10	4
93767	< 1	< 10	0.9	9	63	2.42	0.07	0.34	0.1	0.049	< 10	8	< 10	8
93774	1	< 10	0.32	25	104	3.26	0.34	0.36	0.06	0.054	< 10	6	< 10	6
93777	2	< 10	0.69	19	59	3.41	0.05	0.16	0.05	0.036	< 10	6	< 10	8
93778	1	< 10	0.52	12	265	6.79	1.06	0.73	0.09	0.037	< 10	5	< 10	45
93779	1	< 10	1.36	14	115	3.57	0.06	0.05	0.04	0.035	< 10	4	< 10	58
93780	< 1	< 10	0.68	19	173	8.74	0.06	0.09	0.09	0.042	< 10	3	< 10	15
93784	1	< 10	2.65	26	56	9.96	0.23	0.57	0.32	0.024	< 10	16	< 10	17
93785	1	< 10	0.29	< 1	133	1.43	0.08	0.11	0.05	0.035	< 10	1	< 10	23
93786	< 1	< 10	0.41	21	101	7.3	0.21	0.11	0.03	0.034	< 10	3	< 10	5
93789	2	< 10	0.34	51	55	6.01	0.05	0.11	0.03	0.026	< 10	4	< 10	4
267468	1	< 10	0.42	23	380	4.6	2.09	1.3	0.07	0.061	< 10	8	< 10	36
267470	< 1	< 10	0.07	7	271	2.06	0.61	0.62	0.03	0.025	< 10	5	< 10	6
267474	< 1	< 10	1.25	5	115	7.09	0.11	0.23	0.11	0.075	< 10	1	< 10	20
267028	< 1	< 10	3.51	37	84	8.9	< 0.01	1.77	< 0.01	0.076	< 10	29	< 10	46
267065	< 1	80	1.57	14	91	2.02	0.02	0.05	0.07	0.025	< 10	< 1	< 10	44
267066	< 1	< 10	0.13	4	70	22.4	0.1	0.43	< 0.01	0.08	< 10	1	< 10	32
267072	1	< 10	4.11	38	173	7.34	1.47	1.68	0.28	0.045	< 10	28	< 10	159
267103	1	< 10	2.13	24	114	4.19	0.49	0.75	0.18	0.074	< 10	15	< 10	15
267479	2	< 10	0.47	30	421	4.95	2.46	1.58	0.08	0.082	< 10	5	< 10	32
267481	1	< 10	0.97	62	60	4.33	0.17	0.62	0.09	0.032	< 10	11	< 10	6
267484	3	< 10	0.92	42	72	6.76	0.3	0.45	0.07	0.116	< 10	5	< 10	13
267485	1	< 10	1.94	18	66	5.38	0.11	0.76	0.21	0.028	< 10	15	< 10	12
93696	< 1	< 10	0.39	12	71	3.63	0.46	0.52	0.09	0.025	< 10	2	< 10	18
93739	< 1	< 10	1.46	56	39	4.58	0.05	0.57	0.2	0.013	< 10	14	< 10	4
93742	< 1	< 10	1.38	7	44	6.71	0.14	0.39	0.13	0.034	< 10	3	< 10	12
93747	< 1	< 10	0.89	2	75	3.86	0.4	0.27	0.01	0.007	< 10	1	< 10	7
93749	< 1	< 10	0.54	2	212	2.37	0.09	0.16	0.04	0.008	< 10	1	< 10	5

Analyte Symbol	Titanium	Vanadium	Tungsten	Yttrium	Zirconium	Sulfur
Unit Symbol	Ti	V	W	Y	Zr	S
Detection Limit	Ti (0.01%)	V (>1ppm)	W (>10ppm)	Y (>1ppm)	Zr (>1ppm)	S (0.001 - 20%)
Analysis Method	%	ppm	ppm	ppm	ppm	%
267004 NO SAMPLE	--	--	--	--	--	--
93602	< 0.01	7	< 10	6	8	0.977
93606	< 0.01	7	< 10	6	8	0.972
93621	0.11	37	< 10	7	13	0.279
93627	0.02	12	< 10	8	9	1.423
93630	0.01	10	< 10	4	8	1.119
93636	0.22	61	< 10	12	28	3.025
93641	0.15	38	< 10	5	13	0.336
93650	0.17	46	11	8	8	0.776
93651	0.24	61	< 10	4	6	0.615
93653	0.2	47	< 10	4	8	0.92
93670	0.02	7	< 10	3	6	0.614
267011	< 0.01	6	< 10	5	6	3.233
267012	< 0.01	3	< 10	8	4	1.993
267013	0.49	142	< 10	15	8	2.79
93680	0.25	45	< 10	17	57	3.113
93681	0.2	67	< 10	8	28	3.878
93683	0.27	23	< 10	3	41	0.608
267024	0.01	8	< 10	6	11	0.591
267025	< 0.01	1	< 10	< 1	3	0.106
93685	0.15	29	< 10	8	8	1.474
93690	0.06	34	102	14	13	3.308
93693	0.17	31	< 10	12	15	2.917
93694	0.41	138	< 10	13	7	1.811
262604	0.02	4	< 10	4	39	10.03
262605	0.07	17	< 10	7	15	1.684
262606	0.02	8	< 10	2	21	9.867
262609	0.13	59	< 10	11	7	0.148
262610	0.1	32	< 10	7	18	1.352
262611	0.05	16	< 10	6	19	6.8
262612	0.27	72	< 10	11	9	1.277
267026	0.12	28	< 10	2	19	0.163
93724	0.07	38	< 10	4	7	0.86
93725	0.04	56	< 10	6	65	6.14
93726	< 0.01	2	< 10	4	9	0.27
93727	0.03	38	< 10	4	42	4.995
93728	0.05	51	< 10	6	63	5.913
93732	0.02	10	< 10	7	6	0.75
93733	0.01	11	< 10	12	11	4.622
93734	< 0.01	8	< 10	7	6	1.73
93754	0.34	119	< 10	9	4	0.584
93757	0.05	15	< 10	10	10	2.906
93758	0.31	81	< 10	8	5	1.947
262614	0.15	94	< 10	13	7	0.355
262619	0.01	5	< 10	6	10	5.885
262624	0.02	10	11	5	5	3.013
262635	< 0.01	4	< 10	2	4	1.941
262637	0.11	37	< 10	4	13	0.787
262643	0.22	90	< 10	6	21	1.703

Final Report
Activation Laboratories

Analyte Symbol	Titanium	Vanadium	Tungsten	Yttrium	Zirconium	Sulfur
Unit Symbol	Ti	V	W	Y	Zr	S
Detection Limit	Ti (0.01%)	V (>1ppm)	W (>10ppm)	Y (>1ppm)	Zr (>1ppm)	S (0.001 - 20%)
Analysis Method	%	ppm	ppm	ppm	ppm	%
267004 NO SAMPLE	-	-	-	-	-	-
262644	0.26	41	< 10	7	11	5.785
262645	< 0.01	2	< 10	< 1	3	2.575
262646	0.04	9	< 10	3	3	0.824
262649	< 0.01	2	< 10	< 1	2	1.392
262650	< 0.01	6	< 10	8	3	1.556
93702	0.2	32	< 10	10	15	2.891
93703	0.06	17	< 10	5	11	6.546
93704	0.01	9	< 10	8	13	0.27
93712	0.11	63	< 10	9	13	2.362
93713	0.23	109	< 10	9	4	0.655
93720	0.01	28	19	7	32	9.651
267009	< 0.01	17	< 10	8	20	9.104
267005	0.05	12	< 10	3	8	2.737
267007	0.16	42	< 10	8	30	2.125
267008	0.01	8	374	5	7	1.507
267014	0.24	63	< 10	12	6	0.165
267016	0.23	80	< 10	10	27	2.913
267020	0.24	69	< 10	9	13	1.047
267021	0.31	131	< 10	11	5	0.73
267027	0.02	4	< 10	< 1	4	1.026
93765	0.02	4	< 10	< 1	13	0.095
93767	0.08	61	< 10	6	2	0.14
93774	0.21	89	< 10	9	30	1.712
93777	0.44	86	10	9	6	0.833
93778	0.23	48	< 10	7	16	1.6
93779	0.17	21	< 10	11	13	2.089
93780	0.09	18	< 10	7	18	4.324
93784	0.24	116	< 10	7	9	2.548
93785	0.22	23	< 10	3	17	0.218
93786	0.14	13	< 10	12	62	5.379
93789	0.32	60	< 10	5	7	1.596
267468	0.28	109	< 10	4	15	0.249
267470	0.1	39	< 10	2	12	0.025
267474	0.03	14	14	5	8	1.513
267028	0.1	315	< 10	9	6	0.159
267065	< 0.01	3	109	4	5	1.595
267066	0.03	31	< 10	3	21	1.518
267072	0.21	220	< 10	9	7	0.785
267103	0.23	142	< 10	17	4	0.17
267479	0.31	125	< 10	7	14	0.185
267481	0.28	113	< 10	9	4	1.739
267484	0.56	138	< 10	16	6	2.827
267485	0.21	131	< 10	9	5	0.65
93696	0.13	27	< 10	2	5	1.881
93739	0.18	279	< 10	4	4	0.908
93742	0.11	27	< 10	4	10	0.988
93747	0.07	3	< 10	83	13	1.095
93749	0.04	10	< 10	8	5	0.265



WHOLE ROCK ICP ANALYSIS



Matamec Exploration Inc. PROJECT La Grande Est File # A604308

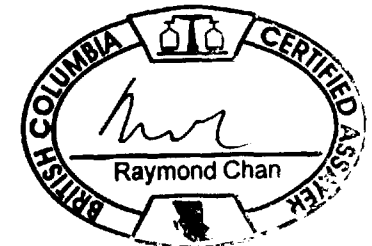
1200, 3e Ave, Val d'Or QC J9P 1V1 Submitted by: Emmanuelle Giguere

SAMPLE#	SiO2	Al2O3	Fe2O3	MgO	CaO	Na2O	K2O	TiO2	P2O5	MnO	Cr2O3	Ni	Sc	LOI	TOT/C	TOT/S	SUM
	%	%	%	%	%	%	%	%	%	%	%	ppm	ppm	%	%	%	%
93679	44.33	14.25	18.39	6.44	11.06	1.98	.79	.74	.05	.47	.036	118	37	1.3	.04	.60	99.86
262618	49.59	15.18	12.01	6.76	10.31	3.03	.47	1.09	.06	.18	.048	116	48	1.2	.03	.57	99.95
262621	42.83	13.47	23.10	4.86	9.53	.98	.31	.74	.21	.65	.011	68	27	3.1	.16	1.81	99.80
267003	46.00	13.63	21.56	3.71	8.51	1.74	.69	.43	.10	1.27	.014	39	14	2.2	.03	2.00	99.86
267069	51.40	12.21	9.24	11.88	6.47	3.14	2.03	.68	.36	.13	.106	383	24	1.9	.09	.12	99.59
267073	48.00	13.94	15.92	4.40	8.17	2.38	2.00	2.45	.32	.28	.005	19	33	2.0	.17	.15	99.87
STANDARD SO-18/CSC	58.18	14.11	7.62	3.34	6.38	3.69	2.15	.69	.83	.39	.550	38	25	1.9	3.11	4.21	99.84

GROUP 4A - 0.200 GM SAMPLE BY LIBO2/LI2B407 FUSION, ANALYSIS BY ICP-ES. (LIBO2/LI2B407 FUSION MAY NOT BE SUITABLE FOR MASSIVE SULFIDE OR HIGH BARITE SAMPLES.) LOI BY LOSS ON IGNITION. TOTAL C & S BY LECO. (NOT INCLUDED IN THE SUM)

- SAMPLE TYPE: Rock R150

Data 1 FA _____ DATE RECEIVED: JUL 25 2006 DATE REPORT MAILED:.....





GEOCHEMICAL ANALYSIS CERTIFICATE

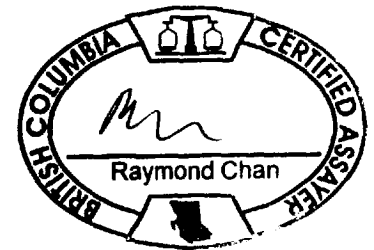


Matamec Exploration Inc. PROJECT La Grande Est File # A604308 (a)
 1200, 3e Ave, Val d'Or QC J9P 1V1 Submitted by: Emmanuelle Giguere

SAMPLE#	Ba ppm	Be ppm	Co ppm	Cs ppm	Ga ppm	Hf ppm	Nb ppm	Rb ppm	Sn ppm	Sr ppm	Ta ppm	Th ppm	U ppm	V ppm	W ppm	Zr ppm	Y ppm	La ppm	Ce ppm	Pr ppm	Nd ppm	Sm ppm	Eu ppm	Gd ppm	Tb ppm	Dy ppm	Ho ppm	Er ppm	Tm ppm	Yb ppm	Lu ppm
93679	116.7	<1	30.0	.2	14.8	1.3	1.7	7.7	<1	103.1	.1	.2	<.1	228	.8	38.9	16.9	2.3	5.8	.96	5.4	1.5	66	2.16	.37	2.60	.61	1.76	.27	1.53	.26
262618	120.0	<1	50.9	.9	15.7	1.9	2.7	10.8	<1	341.3	.2	.6	.2	284	5.0	58.4	22.3	4.4	10.5	1.52	8.6	2.2	75	3.51	.60	3.86	.82	2.48	.34	2.32	.33
262621	19.5	<1	40.7	.1	17.4	3.3	6.3	1.2	.1	9.3	.5	2.5	.7	146	1.0	122.3	25.1	17.7	42.3	4.95	19.9	4.1	1.07	4.24	.62	4.09	.79	2.77	.40	2.63	.43
267003	87.0	1	6.5	.9	13.0	2.7	3.4	12.6	1	94.5	.3	2.5	.6	85	.2	100.6	17.0	6.4	14.6	1.63	7.0	1.4	.93	1.82	.36	2.44	.49	1.77	.26	1.53	.28
267069	784.3	1	46.5	3.0	15.9	2.3	3.9	65.5	<1	779.7	.3	2.5	.6	161	.7	88.5	17.7	19.2	43.7	5.46	24.5	4.7	1.20	3.51	.52	3.02	.62	1.80	.22	1.54	.24
267073	781.5	1	48.2	2.9	23.9	4.1	9.2	49.5	1	246.9	.6	1.3	.3	342	4	154.2	38.6	25.7	59.0	7.57	35.9	7.1	2.07	7.07	1.17	6.71	1.36	4.13	.58	3.67	.52
STANDARD SO-18	525.7	1	27.2	7.4	18.4	9.8	19.7	31.3	14	416.4	7.8	9.8	16.1	197	15.9	293.0	34.0	13.3	28.4	3.54	14.1	3.1	.93	2.86	.57	3.10	.67	1.88	.31	1.87	.28

GROUP 4B - REE - 0.200 GM BY LiBO2/LI2B4O7 FUSION, ICP/MS FINISHED.
 - SAMPLE TYPE: Rock R150

Data FA DATE RECEIVED: JUL 25 2006 DATE REPORT MAILED:.....





GEOCHEMICAL ANALYSIS CERTIFICATE

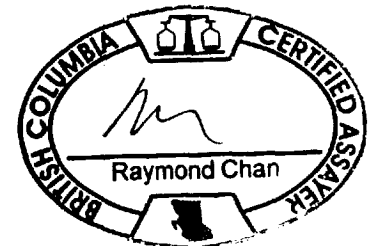


Matamec Exploration Inc. PROJECT La Grande Est File # A604308 (b)
 1200, 3e Ave, Val d'Or QC J9P 1V1 Submitted by: Emmanuelle Giguere

SAMPLE#	Mo ppm	Cu ppm	Pb ppm	Zn ppm	Ni ppm	As ppm	Cd ppm	Sb ppm	Bi ppm	Ag ppm	Au ppb	Hg ppm	Tl ppm	Se ppm
93679	.5	58.6	2.3	32	55.5	1.4	.1	.2	.1	<.1	<.5	.01	<.1	.5
262618	.4	157.1	1.2	28	83.2	5.3	<.1	.3	.2	<.1	.5	<.01	<.1	.6
262621	1.0	472.0	1.7	59	75.4	1.5	.1	.2	.3	.3	2.3	<.01	<.1	.6
267003	.3	19.2	7.4	40	39.8	<.5	.1	.3	.1	.2	57.8	<.01	.2	<.5
267069	1.5	603.1	2.2	36	213.0	.6	.1	.1	.1	.4	32.3	<.01	.3	1.1
267073	.7	74.3	12.4	134	23.7	10.2	.3	1.3	<.1	<.1	<.5	.01	.1	<.5
STANDARD DS7	20.7	108.0	70.7	411	54.5	46.7	6.2	5.6	4.5	.9	52.2	.21	4.1	3.4

GROUP 10X - 0.50 GM SAMPLE LEACHED WITH 3 ML 2-2-2 HCL-HNO3-H2O AT 95 DEG. C FOR ONE HOUR, DILUTED TO 10 ML, ANALYSED BY ICP-MS.
 (>) CONCENTRATION EXCEEDS UPPER LIMITS. SOME MINERALS MAY BE PARTIALLY ATTACKED. REFRACTORY AND GRAPHITIC SAMPLES CAN LIMIT AU SOLUBILITY.
 - SAMPLE TYPE: Rock R150

Data 1 FA _____ DATE RECEIVED: JUL 25 2006 DATE REPORT MAILED:.....



GEOCHEMICAL ANALYSIS CERTIFICATE

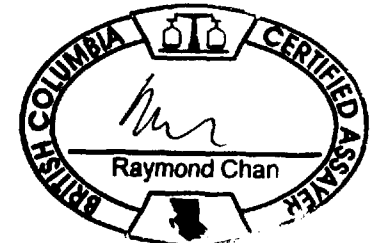


Matamec Exploration Inc. PROJECT La Grande Est File # A604307 Page 1
 1200, 3e Ave, Val d'Or QC J9P 1V1 Submitted by: Emmanuelle Giguere

SAMPLE#	Sample Total	
	gm	gm
93642	185	360
93648	80	230
93655	95	410
93657	165	340
93658	65	290
93663	240	457
93685	200	475
93688	90	290
93689	65	290
93738	165	610
93743	20	135
93744	20	125
93745	55	475
93746	240	575
93751	60	460
93752	115	185
267052	120	1000
267053	300	1190
267055	180	1005
267056	170	750
267057	175	890
267058	465	690
267059	185	680
267060	225	535
267062	35	840
267063	135	330
267064	235	740
267068	45	180
267455	95	400
267456	160	350
267458	460	715
267460	145	370
267466	330	880

- SAMPLE TYPE: Sed. SS80 60C

Data 6 FA _____ DATE RECEIVED: JUL 25 2006 DATE REPORT MAILED:.....





SAMPLE#	Sample gm	Total gm
267472	35	195
267488	34	760
267489	85	345
267490	375	645
267491	40	1005
267492	65	270
267493	75	370

Sample type: Sed. SS80 60C.



GEOCHEMICAL ANALYSIS CERTIFICATE



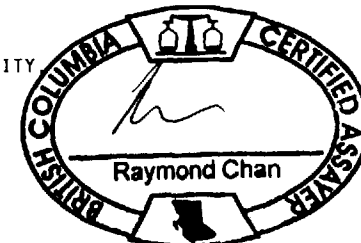
Matamec Exploration Inc. PROJECT La Grande Est File # A604307R Page 1

1200, 3e Ave, Val d'Or QC J9P 1V1 Submitted by: Emmanuelle Giguere

SAMPLE#	Mo	Cu	Pb	Zn	Ag	Ni	Co	Mn	Fe	As	U	Au	Th	Sr	Cd	Sb	Bi	V	Ca	P	La	Cr	Mg	Ba	Ti	B	Al	Na	K	W	Hg	Sc	Tl	S	Ga	Se	Sample
	ppm	ppm	ppm	ppm	ppm	ppm	ppm	ppm	%	ppm	ppm	ppb	ppm	ppm	ppm	ppm	ppm	ppm	%	%	ppm	ppm	%	ppm	%	%	%	%	%	ppm	ppm	ppm	ppm	%	ppm	ppm	gm
93642	.2	6.1	5.2	36	<1	12.2	6.3	156	1.12	1.8	.5	<5	2.3	14	.1	<1	.1	20	.32	.044	9	29	.30	40	.086	1	.69	.019	.11	.3	.03	1.8	<1	.05	3	8	30.0
93648	2.1	39.2	15.6	190	<1	38.5	31.1	3753	3.25	63.3	1.1	1.5	1.7	29	.4	2	3	32	.94	.058	19	59	53	125	.072	3	1.19	.013	.10	7	.08	2.5	2	.10	5	9	30.0
93655	.6	12.4	8.0	68	<1	27.7	15.7	588	2.33	2.7	.9	<5	4.4	25	.2	.1	.1	43	60	.055	17	53	66	96	.147	2	1.45	.036	.26	3	.04	3.6	3	.05	6	5	30.0
93657	.3	7.8	3.9	34	<1	13.0	5.5	138	1.13	.8	1.2	.7	3.1	15	.1	<1	.1	21	34	.048	11	31	.35	41	.093	1	.73	.022	.12	4	.01	2.0	<1	.05	3	<5	30.0
93658	.6	10.5	8.4	43	<1	19.3	9.7	231	1.66	1.0	1.8	<5	3.4	28	.1	<1	.1	32	44	.065	14	44	.53	58	.123	1	1.05	.031	.21	2	.03	2.9	2	.05	5	<5	30.0
93663	.3	3.8	3.1	22	<1	7.6	3.6	144	.76	2.4	.4	.6	1.5	10	<1	<1	.1	12	25	.042	6	18	19	24	.057	<1	.42	.013	.06	.5	.01	1.1	<1	.05	2	<5	30.0
93685	.6	6.1	6.1	31	<1	16.4	6.6	265	2.07	8.4	.4	<5	1.7	13	.1	<1	.1	24	25	.041	9	47	.30	32	.069	1	.67	.013	.08	6	.03	1.2	<1	.05	3	<5	30.0
93688	.4	14.8	6.5	52	<1	22.8	12.4	466	1.93	1.1	1.7	1.2	5.2	28	.1	<1	.1	34	41	.056	18	52	60	75	.134	2	1.35	.035	.26	2	.03	3.6	2	.05	6	<5	30.0
93689	.7	12.7	7.4	67	<1	31.4	14.7	411	2.46	1.2	1.0	<5	4.1	27	.1	<1	.1	44	43	.058	16	63	.71	92	.161	2	1.60	.039	.26	3	.04	4.0	2	.07	7	5	30.0
93738	.3	16.6	4.6	40	<1	24.6	7.7	146	1.35	1.8	.8	.5	3.4	12	.1	<1	.1	25	37	.049	15	51	45	56	.093	1	.84	.018	.18	3	.01	2.2	<1	.05	3	<5	30.0
93743	.8	15.8	19.4	40	<1	13.2	8.0	247	1.47	2.7	1.9	.5	1.4	14	.3	.1	.1	21	48	.054	11	24	.31	54	.067	2	.79	.011	.06	.3	.09	1.7	1	.11	3	9	7.5
93744	.7	8.7	21.9	31	<1	7.7	4.5	252	1.19	1.8	.6	<5	.5	15	.3	.1	.2	12	47	.053	5	14	.14	34	.034	2	.42	.011	.05	2	.10	1.0	<1	.16	2	9	7.5
93745	1.0	18.9	3.9	41	<1	15.9	8.2	522	1.49	2.8	1.7	1.6	3.5	18	.2	<1	.1	27	55	.055	20	35	.36	63	.085	1	.95	.026	.13	6	.03	2.5	1	.08	3	<5	30.0
RE 93746	2.3	3.2	2.2	21	<1	5.8	5.1	261	1.66	2.0	.4	<5	1.6	6	<1	<1	.1	17	18	.035	6	14	.15	20	.051	<1	.42	.007	.04	3	.01	.9	<1	.05	2	<5	30.0
93746	2.2	3.9	2.0	21	<1	6.6	5.4	260	1.66	2.2	.4	1.2	1.7	6	<1	<1	.1	16	18	.036	6	15	.15	19	.049	<1	.41	.007	.04	3	.01	1.0	<1	.05	2	<5	30.0
93751	1.0	10.3	9.7	53	<1	25.4	12.1	465	2.62	2.2	.9	1.6	3.0	28	.1	.1	.1	43	39	.055	12	49	.55	83	.129	2	1.40	.035	.21	2	.05	3.0	2	.09	6	8	30.0
93752	.9	13.3	6.1	48	<1	23.6	10.7	346	2.05	1.0	1.5	1.8	5.7	31	.1	<1	.1	42	64	.065	20	48	.69	69	.156	1	1.25	.043	.25	3	.01	3.9	2	.05	6	<5	30.0
267052	.3	3.9	2.4	11	<1	6.6	2.5	76	.79	.9	.4	<5	2.2	7	<1	<1	.1	16	21	.040	7	19	.17	14	.051	<1	.29	.009	.05	2	<1	.9	<1	.05	2	<5	30.0
267053	.2	3.7	2.4	11	<1	5.6	2.1	54	.55	1.8	.8	1.3	2.2	8	<1	<1	.1	11	18	.028	7	14	.15	15	.050	1	.31	.008	.03	1	.01	.7	<1	.05	1	<5	30.0
267055	.2	3.9	2.4	10	<1	5.9	2.0	54	.54	1.6	.5	2.2	1.7	7	<1	<1	.1	10	17	.027	6	13	.13	13	.048	<1	.28	.006	.03	2	<1	.6	<1	.05	2	<5	30.0
267056	.2	5.1	3.0	11	<1	7.0	2.8	68	.97	1.3	.7	<5	2.0	8	.1	<1	.1	17	19	.030	7	21	.17	20	.057	<1	.43	.009	.04	4	.01	.8	<1	.05	2	<5	30.0
267057	.2	3.5	2.6	8	<1	4.6	2.1	55	.69	1.6	.5	<5	1.9	7	<1	<1	.1	13	14	.028	6	16	.12	11	.048	<1	.27	.005	.02	3	.01	.6	<1	.05	2	<5	30.0
267058	.1	1.2	2.0	6	<1	2.8	.9	24	.17	.7	.2	<5	.5	5	<1	<1	<1	4	.09	.013	3	8	.07	8	.036	<1	.15	.004	.01	1	<1	.4	<1	.05	1	<5	30.0
267059	.2	2.4	2.7	6	<1	2.3	.6	17	.45	.9	.4	<5	.9	5	.1	<1	.1	9	.07	.009	4	13	.03	7	.045	<1	.13	.004	.01	1	.01	.3	<1	.05	1	<5	30.0
267060	.2	2.6	3.5	10	<1	3.9	2.3	73	.44	3.3	.4	<5	.8	8	.1	<1	.1	8	.16	.029	5	10	.09	12	.031	1	.21	.005	.02	.5	.01	.5	<1	.05	1	<5	30.0
267062	.2	5.4	2.9	14	<1	7.8	1.9	48	.50	1.4	.6	<5	2.1	9	.1	<1	<1	8	19	.049	8	19	.16	22	.046	1	.32	.006	.04	2	.02	.7	<1	.05	1	<5	15.0
267063	.1	3.4	3.7	11	<1	6.6	2.1	49	.48	.7	.3	<5	1.0	8	.1	<1	.1	9	15	.020	5	14	.17	24	.054	1	.38	.009	.03	2	.01	.8	<1	.05	2	<5	30.0
267064	.3	4.9	3.0	20	<1	7.9	4.7	219	.82	.6	.7	1.2	1.3	8	.1	.1	.1	14	22	.027	7	16	.21	32	.060	1	.51	.009	.03	3	.01	.9	<1	.05	3	<5	30.0
267068	.8	17.0	11.2	57	<1	27.5	9.5	267	1.71	1.9	1.0	1.6	2.9	31	.3	.1	.1	26	68	.066	16	52	.55	70	.111	2	1.43	.033	.16	4	.07	3.2	1	.12	5	9	30.0
267455	.5	14.7	7.1	53	<1	31.3	15.3	498	2.38	1.8	1.0	.7	5.4	27	.1	<1	.1	43	58	.065	18	56	.82	113	.170	2	1.36	.044	.32	3	.01	3.8	2	.05	7	<5	30.0
267456	.5	8.3	3.8	24	<1	12.3	4.6	113	.87	.9	1.0	2.0	2.7	17	.1	<1	.1	18	30	.054	11	26	.29	35	.086	1	.68	.021	.14	2	.01	1.7	<1	.05	3	<5	30.0
267458	.1	2.9	2.6	14	<1	7.2	3.0	81	.57	.5	.5	.9	2.3	11	<1	<1	.1	12	24	.044	8	16	.21	17	.063	1	.36	.014	.06	2	<1	1.0	<1	.05	2	<5	30.0
267460	.6	10.6	4.9	36	<1	18.0	8.3	240	1.61	.7	.9	1.0	4.5	21	.1	<1	.1	36	38	.062	15	38	.56	43	.132	1	.89	.028	.20	3	.01	2.8	<1	.05	4	<5	30.0
267466	.2	4.2	3.2	13	<1	7.1	2.9	84	.70	.7	.6	1.7	2.1	10	<1	<1	.1	13	24	.044	7	22	.20	17	.062	1	.38	.010	.06	3	<1	1.1	<1	.05	2	<5	30.0
STANDARD DS7	20.3	104.7	70.6	411	.9	55.1	9.5	631	2.38	48.5	4.9	76.2	4.4	68	6.4	5.9	4.6	84	.95	.079	13	167	1.06	373	.121	38	.97	.076	.46	3.9	20	2.7	4.2	21	5	3.1	30.0

GROUP 1DX - 30 GM SAMPLE LEACHED WITH 180 ML 2-2-2 HCL-HNO3-H2O AT 95 DEG. C FOR ONE HOUR, DILUTED TO 600 ML, ANALYSED BY ICP-MS.
 (>) CONCENTRATION EXCEEDS UPPER LIMITS. SOME MINERALS MAY BE PARTIALLY ATTACKED. REFRACTORY AND GRAPHITIC SAMPLES CAN LIMIT AU SOLUBILITY.
 - SAMPLE TYPE: Sed. Pulp Samples beginning 'RE' are Reruns and 'RRE' are Reject Reruns.

Data 1 FA _____ DATE RECEIVED: AUG 19 2006 DATE REPORT MAILED:.....

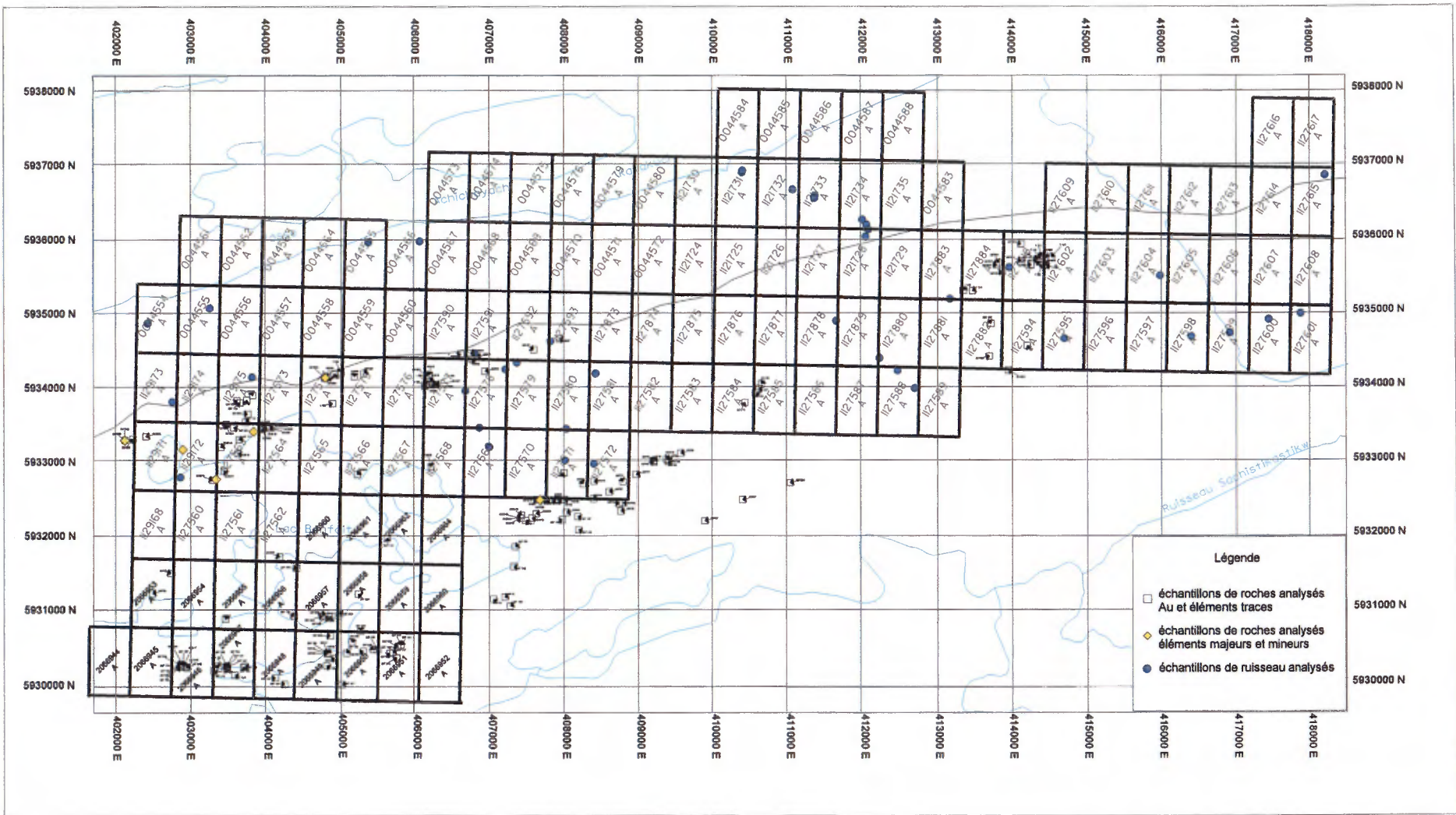


All results are considered the confidential property of the client. Acme assumes the liabilities for actual cost of the analysis only.



SAMPLE#	Mo ppm	Cu ppm	Pb ppm	Zn ppm	Aq ppm	Ni ppm	Co ppm	Mn ppm	Fe %	As ppm	U ppm	Au ppb	Th ppm	Sr ppm	Cd ppm	Sb ppm	Bi ppm	V ppm	Ca %	P %	La ppm	Cr ppm	Mg %	Ba ppm	Ti %	B ppm	Al %	Na %	K %	W ppm	Hg ppm	Sc ppm	Tl ppm	S %	Ga ppm	Se ppm	Sample gm
267472	.7	17.7	11.2	70	.1	34.7	11.0	223	2.60	9.1	7	.5	3.7	41	1	<.1	.2	50	.36	.063	15	72	.73	125	.184	3.2	.59	.071	.44	2	.07	4.2	.3	.10	11	<.5	15
267488	.1	1.8	2.3	7	<.1	3.8	1.3	39	27	<.5	4	<.5	1.3	7	<.1	<.1	.1	7	.14	.030	5	9	.10	8	.042	1	.22	.007	.03	2	.01	.5	<.1	<.05	1	<.5	30
267489	.5	13.9	8.1	51	<.1	25.3	7.7	167	1.94	9.1	4	<.5	3.8	24	1	<.1	.2	47	.33	.067	15	59	61	77	.181	3	1.64	.042	.32	2	.04	3.9	.2	.06	9	<.5	30
267490	.2	3.4	2.5	20	<.1	9.1	4.0	105	.68	1.1	.5	<.5	2.1	11	<.1	<.1	.1	17	.28	.039	7	20	.25	23	.076	1	.49	.015	.07	3	.01	1.4	.1	<.05	2	<.5	30
267491	.4	5.6	3.8	27	<.1	18.7	6.3	171	1.41	2.4	1.0	<.5	3.1	15	1	<.1	.1	23	.34	.054	14	25	.28	34	.080	1	.66	.018	.09	1.4	.02	1.6	.1	.06	3	<.5	30
267492	.5	11.3	8.6	60	<.1	27.3	9.3	236	2.30	1.4	1.1	1.1	4.4	26	.2	<.1	.1	48	.41	.058	14	63	.72	77	.182	2	1.54	.050	.33	3	.04	4.2	.2	.08	8	.7	30
267493	.6	12.2	6.2	73	<.1	31.2	13.1	479	2.43	1.6	1.0	.7	4.8	32	.1	<.1	.1	48	.55	.059	16	56	.82	76	.173	1	1.61	.055	.30	1.0	.03	4.5	.3	.06	7	.7	30
STANDARD DS7	20.8	108.2	70.2	407	.9	54.8	9.6	624	2.38	47.9	4.9	67.1	4.5	70	6.4	5.9	4.6	85	92	.079	13	168	1.06	369	.123	38	.97	.075	.44	3.9	20	2.6	4.2	.20	5	4.3	30

Sample type: Sed. Pulp.



Carte de la propriété La Grande Est

MRNFP - SECTEUR DES MINES
REÇU LE
 1 3 JUN 2007
 Bureau régional - Montréal

REÇU AU MRNFP
 1 4 JUN 2007
 Direction du développement minier

Listes des échantillons analysés en 2006

échantillons de roche : analyses Au et éléments traces juin 2006			
no échantillon	estant	nordant	Au (ppb)
93602	404801	5934131	69
93606	405194	5934144	<5
93621	406150	5934036	639
93627	406252	5934034	193
93630	406231	5932926	62
93636	406626	5934449	69
93641	406755	5934457	9
93650	406951	5934212	6
93651	406845	5934407	5
93653	406777	5934374	8
93670	407598	5934506	6
93680	407803	5932477	<5
93681	407843	5932470	<5
93683	408004	5934853	6
93685	407940	5934650	<5
93690	408004	5932839	6
93693	407914	5932482	12
93694	408036	5932306	<5
93696	403465	5930872	<5
93702	407920	5932472	<5
93703	408007	5932483	10
93704	408259	5932692	<5
93712	407212	5931163	<5
93713	407061	5931137	<5
93720	411035	5932706	<5
93724	404929	5930338	<5
93725	404832	5930404	47
93726	404832	5930404	<5
93727	404832	5930404	36
93728	404832	5930404	22
93732	408765	5932324	27
93733	408796	5932432	11
93734	408744	5932425	19
93739	402491	5931216	9
93742	402736	5931487	105
93747	403834	5933889	13
93749	403756	5933826	10
93754	408401	5932491	<5
93757	408611	5932586	<5
93765	409892	5932194	<5
93767	410400	5932478	<5
93774	408799	5932723	<5
93777	408973	5932818	7,5
93778	409213	5932999	13
93779	409206	5933004	<5
93780	409214	5932988	<5
93784	409401	5932992	5

REÇU AU MRNF
 14 JUIN 2007
 Directeur du Développement des Ressources

MRNFP - SERVICE DES MINES
 REÇU
 13 JUIN 2007
 Bureau régional - Montréal

93785	409407	5933007	<5
93786	409381	5933027	6
93789	409568	5933109	<5
262604	404053	5933463	5
262605	404053	5933463	9
262606	404053	5933463	10
262609	403946	5933468	<5
262610	403973	5933442	<5
262611	403955	5933440	48
262612	403638	5933103	<5
262614	403408	5933189	<5
262619	403296	5932746	12
262624	403451	5932871	6
262635	404193	5931705	10
262637	405231	5932821	45
262643	407427	5932227	5
262644	407427	5932227	<5
262645	407427	5932227	<5
262646	407433	5932270	6
262649	407574	5932231	<5
262650	407629	5932290	7
267004	404841	5934131	<5
267005	404921	5934182	22
267007	405323	5934187	22
267008	406289	5934036	24
267009	411035	5932706	<5
267011	407487	5932199	27,5
267012	408407	5932728	13
267013	407644	5932481	<5
267016	409381	5933027	<5
267020	413811	5935644	<5
267021	413837	5935674	<5
267024	404797	5934122	16
267025	408004	5934853	<5
267026	403955	5933440	<5
267027	413811	5935644	<5
267028	402125	5933285	<5
267065	402125	5933285	893
267066	402231	5933301	1468
267072	402409	5933336	79
267103	403625	5933818	<5
267468	413713	5934413	<5
267470	413966	5934226	<5
267474	413886	5935557	8
267479	414139	5935928	5
267481	414141	5935694	8
267484	414457	5935642	9
267485	414473	5935737	<5

échantillons de roche : analyses Au octobre 2006			
no échantillon	estant	nordant	Au (ppb)
1103	405012	5934208	21

REÇU AU MRNF
14 JUIN 2007
Bureau régional - Montréal

MRNFP - SECTION DES MINES
REÇU
13 JUIN 2007
Bureau régional - Montréal

1107	404900	5933779	336
1114	413483	5935296	8
1116	413362	5935304	20
1121	414419	5935762	10
1122	414404	5935735	<5
1123	414360	5935720	9
1127	414220	5934557	16
1128	414276	5935647	<5
1129	414477	5935634	6
1130	414440	5935642	6
1131	414387	5935691	10
1132	414544	5935750	5,5
1134	406247	5934038	46
1135	406177	5934040	37
1136	406150	5934025	13
93803	403766	5933637	<5
93805	403480	5933498	15
93806	403480	5933498	14
93811	410433	5933788	6
93814	410577	5933921	14
93815	410619	5933979	114
93816	410652	5934040	156
93817	402904	5930241	695
93818	405311	5930430	30
93819	406210	5934084	24
93821	406293	5934038	72
93822	406201	5934164	2691,5
93823	406201	5934164	1145,5
267029	404986	5930954	<5
267030	405242	5931206	<5
267031	403579	5933452	<5
267032	404759	5930913	<5
267033	404800	5930936	<5
267034	404880	5930910	5
267035	404848	5930904	<5
267036	405667	5930404	<5
267037	405707	5930420	6
267038	405773	5930493	1737
267039	405503	5930451	6
267040	405447	5930455	259
267041	405818	5930521	<5
267042	405762	5930344	8
267043	404869	5930642	21
267044	405277	5930708	<5
267045	405160	5930555	12
267046	402952	5930210	6
267047	402932	5930218	7
267048	402872	5930258	14
267049	402862	5930219	5
267050	403366	5930200	17
267104	402899	5930241	9
267105	402899	5930241	13

REÇU AU MRNF
14 JUIN 2007
Bureau régional - Montréal

MRNFP - SECRETARIAT
REÇU LE
13 JUIN 2007
Bureau régional - Montréal

267106	400620	5930509	5
267107	400143	5929878	<5
267108	402862	5930219	<5
267109	402862	5930219	<5
267110	402862	5930219	10
267111	426219	5935200	19
267112	424033	5933680	<5
267113	425500	5935500	<5
267114	405629	5931964	<5
267115	404405	5931553	6
267116	404405	5931553	6
267117	404419	5931558	105
267118	404387	5930905	6
267119	403309	5930170	5
267120	403484	5930199	<5
267121	403477	5930225	32
267122	403478	5930222	<5
267123	403478	5930222	12
267124	403591	5930110	152
267125	403726	5930229	17
267126	404134	5930071	<5
267127	404260	5929986	9
267128	404819	5930236	<5
267129	404832	5930409	45
267130	405084	5930409	1824,5
267131	405024	5929982	5
267132	407351	5931844	5
267135	413734	5934854	8
267136	414360	5935720	<5
267137	414360	5935720	13
267138	405773	5930493	695
267139	403707	5930223	36
267140	403489	5930231	122
267141	405818	5930521	8,5
267142	407330	5931578	9
267143	400236	5929853	47
267144	400236	5929853	7
267145	401083	5929278	<5
267146	407981	5932209	<5
267147	408188	5932251	<5
267148	408199	5932070	<5
267149	407283	5931042	<5
267150	403484	5930199	20

échantillons de roche : éléments majeurs et traces		
no échantillon	estant	nordant
93679	407680	5932473
262618	403342	5932758
262621	403845	5933401
267003	404805	5934127
267069	402899	5933155
267073	402125	5933285

REÇU AU MRNF
14 JUIN 2007
Direction du développement

MRNFP - SERVICE ÉDUCATION
REÇU LE
13 JUIN 2007
Bureau régional - Montréal

échantillons de ruisseau		
no échantillon	estant	nordant
93642	406812	5934459
93648	407221	5934241
93655	406689	5933954
93657	406876	5933453
93658	407006	5933193
93663	407374	5934330
93686	407822	5934621
93688	408036	5933436
93689	408018	5933010
93738	413980	5935615
93743	403259	5935065
93744	402433	5934863
93745	403825	5934136
93746	402762	5933803
93751	408429	5934183
93752	408407	5932965
267052	410390	5936894
267053	410400	5936918
267055	411071	5936663
267054	411368	5936583
267057	411363	5936550
267058	412003	5936258
267059	412058	5936192
267060	412082	5936123
267062	412046	5936027
267063	405383	5935953
267064	406071	5935966
267068	402868	5932784
267455	411652	5934893
267456	412234	5934390
267458	412480	5934222
267460	412709	5933984
267466	413180	5935190
267472	414720	5934654
267488	415995	5935500
267489	416416	5934680
267490	416931	5934728
267491	418224	5936855
267492	417892	5934991
267493	417456	5934912

REÇU AU MRNF
14 JUIN 2007
Bureau régional - 14000

MRNFP - BUREAU RÉGIONAL
14000
14 JUIN 2007
Bureau régional - 14000